



## รายงานการวิจัย

โครงการวิจัยเรื่อง การพัฒนาการทดลองเรื่องการแก่วงของสูกตุ้มน้ำพิกา

Development of Oscillation of a Pendulum Experiments

ผู้วิจัย

ผศ. สุจิตต์ ศรีชัย

RMUTK - CARIT

นายสุชาติ แซ่เอ้ง



3 2000 00100661 0

โครงการวิจัยทุนสนับสนุนงานวิจัยของมหาวิทยาลัยเทคโนโลยีราชมงคลกรุงเทพ

งบประมาณผลประโยชน์ปี พ.ศ. 2553

มหาวิทยาลัยเทคโนโลยีราชมงคลกรุงเทพ

139

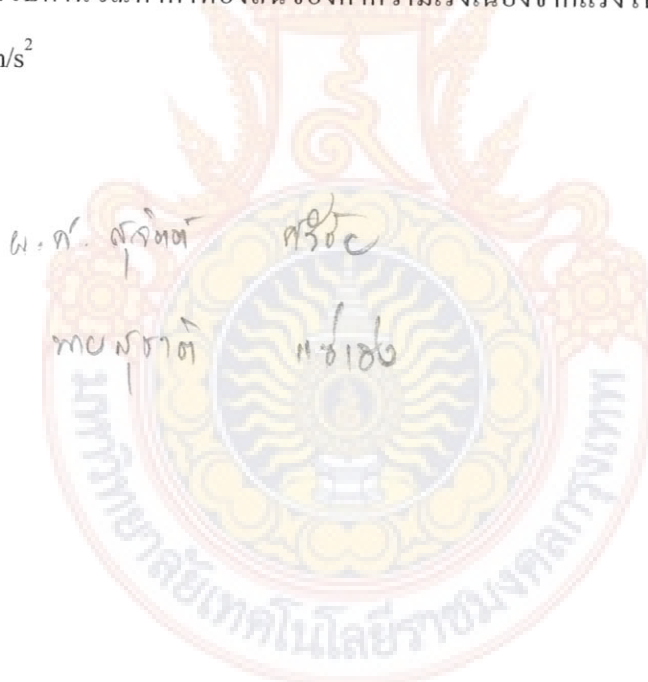
ล. ๙๖๐๑

621/1

## บทคัดย่อ

งานวิจัยนี้ได้ข่ายการทดลองการแก่วงของลูกศุ่มน้ำพิกานจากการแก่วงไปตามส่วนโถงของวงกลมไปสู่การแก่วงหรือออสซิลเดตตามทางโถงไซคลอยด์ ซึ่งมี 2 รูปแบบ คือ การออสซิลเดตบนรางโถงไซคลอยด์กับการแก่วงแบบไซคลอยดัล เพnenคูลัม โดยทำการทดลองเพื่อยืนยันสมบัติทอตโหโกรน และสมบัติบรากิสโหโกรนของไซคลอยด์ และศึกษาเปรียบเทียบความของการแก่วงแบบซิมเพล เพnenคูลัม กับการแก่วงแบบไซคลอยดัล เพnenคูลัม ที่แอมพลิจูดค่าต่าง ๆ เมื่อเชือกที่ผูกลูกศุ่มยาวเท่ากัน

งานวิจัยนี้ยังได้พัฒนาวิธีการขับเวลาเป็นระบบที่ประกอบด้วยไฟโตเกต วงจรควบคุมนาฬิกา ขับเวลา และนาฬิกาจับเวลา ซึ่งจับเวลาได้ละเอียดถึงมิลลิวินาที เมื่อนำมาของทำการแก่วงแบบซิมเพล เพnenคูลัม กรณีที่แก่วงเป็นมุมเล็ก ๆ ( $<5^\circ$ ) และความของการแก่วงแบบไซคลอยดัล เพnenคูลัม ที่วัดได้จากการทดลองไปคำนวณหาค่าห้องถินของค่าความเร่งเนื่องจากแรงโน้มถ่วงของโลกได้ผลเป็น  $9.764 - 9.782 \text{ m/s}^2$



## Abstract

This research was extended the oscillation of a pendulum experiments from oscillation along the arc of circular path to oscillation along cycloid path, which have two types, oscillation on cycloid curve rail and cycloidal pendulum. The experiments were set to confirm tautochrone and brachistochrone properties of cycloid, and compare period of oscillation of same length, simple pendulum and cycloidal pendulum, at various amplitude.

This research also developed a timing system that consists of photogates, stopwatch control circuit and millisecond stopwatch. The periods of oscillation of small amplitude ( $<5^\circ$ ) simple pendulum and cycloidal pendulum measured from experiments resulting in the values  $9.764 - 9.782 \text{ m/s}^2$  of local acceleration due to gravity.

## กิตติกรรมประกาศ

การวิจัยเรื่องการแก่งของลูกศูน์ ได้รับทุนอุดหนุนการวิจัยจากบผลประโยชน์ประจำปีงบประมาณ 2553 มหาวิทยาลัยเทคโนโลยีราชมงคลธัญเทพ ซึ่งได้รับการสนับสนุนเรื่องงบประมาณในการวิจัย การฝึกอบรมเพื่อให้ผู้วิจัยทราบแนวทางในการทำวิจัยอย่างมีคุณภาพ การประสานงาน และการอำนวยความสะดวกต่าง ๆ ทำให้การจัดการโครงการวิจัยดำเนินไปได้ด้วยความราบรื่น คณะผู้วิจัยรู้สึกซาบซึ้ง และขอขอบพระคุณผู้อำนวยการสถาบันวิจัยและพัฒนา เจ้าหน้าที่และผู้มีส่วนเกี่ยวข้องทุกท่านเป็นอย่างยิ่ง

นอกจากนี้คณะผู้วิจัยยังได้รับความช่วยเหลืออย่างดีจากอาจารย์ณัฐชัย สงวนทรัพย์ อาจารย์ประจำสาขาเครื่องเรือน นายวสันต์ ดาวร และนักศึกษาที่ช่วยทำการทดลองทุกคน รวมทั้งผู้ร่วมทำงานวิจัยที่เสียสละเวลาช่วยเหลือในงานวิจัยให้ลุล่วงไปด้วยดี คณะผู้วิจัยขอขอบคุณมา ณ โอกาสนี้

คณะผู้วิจัยขอระลึกถึงพระคุณของท่านผู้มีพระคุณทั้งหลายของคณะผู้วิจัย คุณบิความราดา คุณครูบาอาจารย์และแหล่งศึกษา ตลอดจนประสบการณ์ในสถานที่ทำงานแห่งนี้ ที่ประสิทธิประสาท วิชาการความรู้ในการทำงานวิจัย หากมีข้อบกพร่องประการใด คณะผู้จัดทำขอน้อมรับและการปรับปรุงในโอกาสต่อไป

คณะผู้วิจัย

ธันวาคม 2553

## สารบัญ

หน้า

บทคัดย่อ	(1)
กิตติกรรมประกาศ	(3)
สารบัญ	(4)
สารบัญตาราง	(6)
สารบัญภาพ	(7)
บทที่	
1 บทนำ	
1.1 ความสำคัญของปัจจุบัน	1
1.2 วัตถุประสงค์	2
1.3 ขอบเขตของโครงการวิจัย	2
1.4 ประโยชน์ที่คาดว่าได้รับ	3
2 ทบทวนวรรณกรรมและงานวิจัยที่เกี่ยวข้อง	
2.1 สมการทางโครงสร้างโดยค่าคงที่	4
2.2 สมบัติทดสอบโดยค่าคงที่	5
2.3 ชิมเปิล เพนดูลัม และไชคลอยด์ เพนดูลัม	11
2.4 สมบัติบรากิสโหโกรนของไชคลอยด์	12
3 เนื้อหาการวิจัย	
3.1 อุปกรณ์และวิธีดำเนินการวิจัย	20
3.2 สถานที่ทำการวิจัย	38
4 ผลการวิจัยและข้อวิจารณ์	
4.1 การทดลองเพื่อยืนยันสมบัติทดสอบโดยค่าคงที่	39
4.2 การทดลองเพื่อเปรียบเทียบค่าของการแก่งแบบชิมเปิล เพนดูลัม กับไชคลอยด์ เพนดูลัมที่มีความยาวเชือกเท่ากัน	43
4.3 การทดลองเพื่อยืนยันสมบัติบรากิสโหโกรนของไชคลอยด์	46

## สารบัญ (ต่อ)

หน้า

5 สรุปผลและข้อเสนอแนะ	
5.1 สรุปผล	48
5.2 ข้อเสนอแนะ	48
บรรณานุกรม	49
ภาคผนวก	
ประวัติผู้วิจัย	51

## สารบัญตาราง

หน้า

### ตารางที่

1	คานของการอสซิลเดือนร่างใช้คลอยด์ที่แเอนพลิจูดต่าง ๆ กัน	39
2	คานของการแก้วงแบบชิมเปิล เพนคลัม เมื่อความยาวเชือกมีค่าเป็น 28 cm	43
3	คานของการแก้วงแบบใช้คลอดดัล เพนคลัม เมื่อความยาวเชือกมีค่าเป็น 28 cm	44
4	เวลาในการเคลื่อนที่ระหว่าง 2 ตำแหน่ง คู่เดียวกัน บนร่างใช้คลอยด์และร่างตรง ปรับความเอียงได้	46



## สารบัญภาพ

หน้า

### ภาพที่

1.1 การแก่วงแบบซิมเปล เพนดูลัม	1
1.2 การอสซิลเลตหรือการแก่วงของลูกศุ่นตามเส้นทางใช้คลอยด์	1
2.1 ทางโถึงใช้คลอยด์	4
2.2 ตำแหน่งของจุดบนทางโถึงใช้คลอยด์ขณะเวลาใด ๆ	4
2.3 ทางโถึงใช้คลอยด์ที่มีจุดยอดอยู่ที่จุดกำเนิด	5
2.4 การอสซิลเลตของลูกศุ่นบนทางโถึงใช้คลอยด์	8
2.5 ໂປຣໄຟລ໌ທີ່ໃຫ້ເຊືອກທີ່ຜູກລູກຄຸ້ມວາງຕັ້ງເພື່ອບັນກັນໃຫ້ລູກຄຸ້ມແກວ່ງໄປຕາມເສັ້ນທາງໃຊ້คลອຍດໍ	12
2.6 การເຊື່ອມໂບກາຣເຄລື່ອນທີ່ຂອງອນຸກາກກັບຮັງສືແສງ	13
2.7 ເສັ້ນທາງເຄລື່ອນທີ່ຂອງແສງເມື່ອຮະນາທີ່ແບ່ງນີ້ຈຳນວນນາກຫືນ	14
2.8 ຄວາມເຮົວຂອງອນຸກາກທີ່ຕຳແໜ່ງໃດ ๆ ບນເສັ້ນທາງເຄລື່ອນທີ່	15
3.1 ອຸປຽນທີ່ໃຫ້ໃນກາຣທົດລອງ	20
3.2 ອຸປຽນທີ່ໃຫ້ໃນກາຣທົດລອງ (ຕ່ອ)	21
3.3 ໂປຣແກຣມທີ່ໃຫ້ເຂີຍເສັ້ນໂຄ້ງໃຊ້คลອຍດໍ	21
3.4 ລັກຍະບອງແພ່ນໄນ້ຫັ້ງຈາກຕົດອອກເປັນເສັ້ນໂຄ້ງໃຊ້คลອຍດໍ	22
3.5 ຮັງໃຊ້คลອຍດໍເມື່ອປະກອນເຂົ້າກັບງູານແລ້ວ	23
3.6 ຮັງຕຽບປັບຄວາມເອີ່ນໄດ້	23
3.7 ກາຣຕັດແບ່ງຄົ່ງແພ່ນໄນ້ງູປໂຄ້ງໃຊ້คลອຍດໍ	24
3.8 ກາຣປະກອນແພ່ນໄນ້ງູປຄົ່ງໂຄ້ງໃຊ້คลອຍດໍເຂົ້າກັນແພ່ນໄນ້ອັດ	24
3.9 ແບບຈຳລອງຂອຍເກນສໍ ເພັນດູລັນທີ່ສ່ວັນເສົ່ງແລ້ວ	25
3.10 ສ່ວນປະກອນຕ່າງ ๆ ຂອງໂຟໂໂກເກຕ	25
3.11 ໂຟໂໂກເກຕທີ່ສ່ວັນເສົ່ງແລ້ວ	26
3.12 ຕຳແໜ່ງຂອງອຸປຽນທີ່ຕ່າງ ๆ ບນແພງວຈຮຄວບຄຸມນາພິກາຈັນເວລາ	28
3.13 ດາຍວົງຈະຂອງວຈຮຄວບຄຸມນາພິກາຈັນເວລາ	29
3.14 ກາຣຕິດຕັ້ງອຸປຽນເບັນແພ່ນວົງຈຣິມພໍ	29

## สารบัญภาพ (ต่อ)

หน้า

### ภาพที่

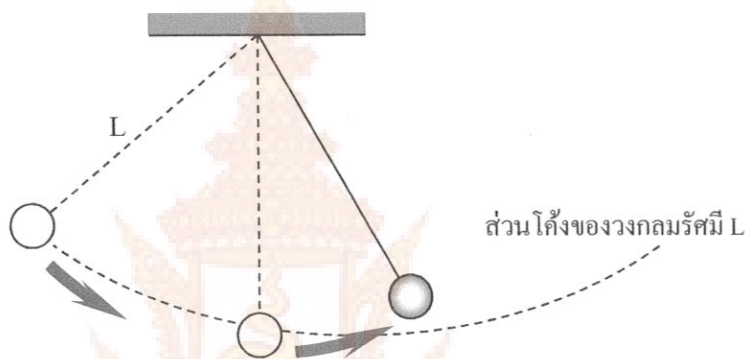
3.15 วงจรควบคุมนาฬิกาจับเวลาที่สร้างเสร็จแล้ว	30
3.16 การต่อสายสัญญาณควบคุมเข้ากับกล่องต่อสายโทรศัพท์	30
3.17 ชุดอุปกรณ์จับเวลา	31
3.18 การจัดอุปกรณ์การทดลองเพื่อยืนยันสมบัติทดสอบโดยใช้คลอยด์	31
3.19 การวางแผนลูกศุ่มนรังใช้คลอยด์ในการทดลองเพื่อยืนยันสมบัติทดสอบโดยใช้คลอร์	32
3.20 การจัดอุปกรณ์การทดลองเพื่อวัดความของการแก่วงแบบใช้คลอยด์ เพนดูลัม	33
3.21 การดึงลูกศุ่มเพื่อให้เขือกผูกลูกศุ่มแนบไปตามครึ่งโถงใช้คลอยด์ก่อนปล่อยให้แก่วง	34
3.22 การจัดอุปกรณ์การทดลองเพื่อวัดความของการแก่วงแบบซิมเปล เพนดูลัม	34
3.23 การดึงลูกศุ่มเพื่อให้เขือกเอียงทำมูงกับแนวเดิมก่อนปล่อยให้แก่วง	35
3.24 การจัดอุปกรณ์การทดลองเพื่อจับเวลาในการเคลื่อนที่ระหว่าง 2 ตำแหน่ง บนรังใช้คลอยด์	36
3.25 การวางแผนที่ต้องเริ่มต้นในการทดลองเพื่อจับเวลาในการเคลื่อนที่ระหว่าง 2 ตำแหน่ง บนรังใช้คลอยด์	36
3.26 การปรับความเอียงของรังตรงเพื่อให้ได้เส้นทางที่ผ่านตำแหน่ง 2 ตำแหน่ง คู่เดียวกัน กับ 2 ตำแหน่งบนรังใช้คลอยด์	37
3.27 การจัดอุปกรณ์การทดลองเพื่อจับเวลาในการเคลื่อนที่ระหว่าง 2 ตำแหน่ง บนรังตรง	38

## บทที่ 1

### บทนำ

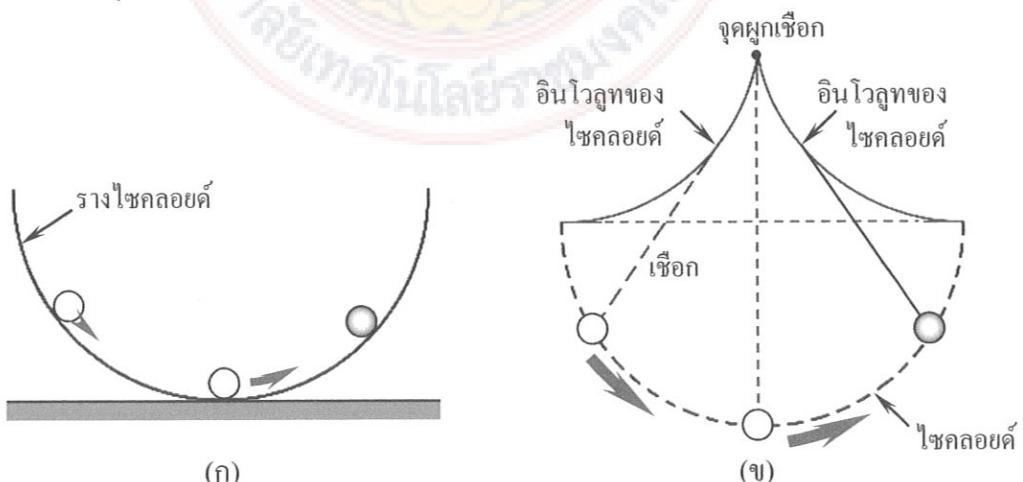
#### 1.1 ความสำคัญของปัจจัย

เมื่อกล่าวถึงการแก่งหัวหรือการอสซิลเลตของลูกศุ่มภายในตัวกรรไกรทำของแรงโน้มถ่วงของโลก โดยทั่วไปมักจะนึกถึงการแก่งหัวแบบชิมเปล เพนดูลัม ซึ่งลูกศุ่มจะแก่งหัวตามเส้นทางที่เป็นส่วนโค้งของวงกลมที่มีความยาวเชือกเป็นรัศมี ดังภาพที่ 1.1



ภาพที่ 1.1 การแก่งหัวแบบชิมเปล เพนดูลัม

แต่ความจริงยังมีเส้นทางในการแก่งหัวหรือการอสซิลเลตของลูกศุ่มอีกแบบหนึ่ง คือ เส้นทางไซคลอยด์ โดยการแก่งหัวหรือการอสซิลเลตของลูกศุ่มตามเส้นทางไซคลอยด์มี 2 ลักษณะ คือ การอสซิลเลตบนวงไซคลอยด์ ดังภาพที่ 1.2 (ก) และไซคลอยด์ล็อก เพนดูลัม ซึ่งเป็นการแก่งหัวของลูกศุ่ม โดยเชือกที่ผูกลูกศุ่มจะแนวกันทาง โค้งที่เป็นอนุวัลของไซคลอยด์ (Involute of cycloid) ที่ดำเนินร่องไกด์สุดของการแก่งหัว ดังภาพที่ 1.2 (ข)



ภาพที่ 1.2 การอสซิลเลตหรือการแก่งหัวของลูกศุ่มตามเส้นทางไซคลอยด์

การศึกษารักรัตน์นี้จึงช่วยให้เข้าใจการแก่วงของลูกคุณในแง่มุมที่กว้างขึ้น โดยศึกษาเปรียบเทียบ การแก่วงแบบซิมเปิล เพนคลัม กับการแก่วงแบบไฮคลอยด์ เพนคลัม ที่มีความยาวเชือกเท่ากัน และทำการทดลองเพื่อยืนยันสมบัติของトイโกรนและสมบัติบรากิสトイโกรนของไฮคลอยด์ โดยเฉพาะ การทดลองเพื่อยืนยันสมบัติบรากิสトイโกรนของไฮคลอยด์ได้แสดงให้เห็นว่าในการเคลื่อนที่ระหว่าง จุดต้นและจุดปลายคู่เดียวกัน ทรงกลมที่กล่องลงมาตามเส้นทางไฮคลอยด์จะอาชนะทรงกลมที่ เมื่อยืนกันทุกประการซึ่งกลับไปตามเส้นทางตรงได้เสมอ โดยที่จุดปลายของการเคลื่อนที่ไม่จำเป็น ต้องอยู่ที่จุดต่อสุดของไฮคลอยด์ อย่างที่เข้าใจ (ผิด) กัน โดยทั่วไป

การศึกษารั้งนี้ยังช่วยให้พิจารณาได้ว่า นานาพิการจับเวลาที่ใช้ในการทดลองควรวัดได้ละเอียดเท่าใด (1 ใน 100 หรือ 1 ใน 500 หรือ 1 ใน 1,000 ของวินาที) จึงเพียงพอที่จะยืนยันผลการทดลองได้ และเพียงพอที่จะให้ค่าท้องถิ่นของค่าความเร่งเนื่องจากแรงโน้มถ่วงของโลกที่ใกล้เคียงกับค่ามาตรฐานมากที่สุด โดยค่าท้องถิ่นของค่าความเร่งเนื่องจากแรงโน้มถ่วงของโลกได้จากการศึกษา การแก้วงแบบซึมเปิด เพนคลัม และการแก้วงแบบไซคลอยดัล เพนคลัม

## 1.2 วัตถุประสงค์

- 1.2.1 เพื่อสร้างชุดทดลองการแกะร่องของลูกศุ่มและไฟโตเกตพร้อมวงจรควบคุมนาฬิกาจันเวลา
  - 1.2.2 เพื่อศึกษาสมบัติของไฟโตรอนและสมบัติบรากิสไฟโตรอนของไซคลอยด์
  - 1.2.3 เพื่อศึกษาเปรียบเทียบความของการแกะร่องแบบซิมเปลี่ยน ไฟฟ้า ไฟฟ้า ไฟฟ้า กับการแกะร่องแบบไซคลอยด์ ไฟฟ้า ไฟฟ้า ไฟฟ้า ที่มีความยาวเชือกเท่ากัน
  - 1.2.4 เพื่อหาค่าห้องถินของความเร่งเนื่องจากแรงโน้มถ่วงของโลก ณ สถานที่ทำการทดลอง

### 1.3 ขอบเขตของโครงการวิจัย

## การวิจัยนี้ประกอบด้วยงาน 3 ส่วน คือ

- 1.3.1 การสร้างร่างโครงไชคอลอยด์ ร่างทรงปรับความเอียงได้ แบบจำลองช้อยเกนส์เพนคูลัม
  - 1.3.2 การสร้างไฟโตเกตและวงจรควบคุมนาฬิกาจับเวลา
  - 1.3.3 ศึกษาการแก่งร่างแบบซิมเปิล เพนคูลัม การแก่งร่างแบบไชคอลอยด์ เพนคูลัม และการอธสัจล์เดตของคุกคามบนทาง โครงไชคอลอยด์

#### 1.4 ประโยชน์ที่คาดว่าจะได้รับ

- 1.4.1 ได้ชุดทดลองการแก้วงของลูกค้าไว้ใช้ในการเรียนการสอนปฏิบัติการทางฟิสิกส์
- 1.4.2 ได้อุปกรณ์จับเวลาที่จับเวลาได้ละเอียดถึงมิลลิวินาที
- 1.4.3 ยืนยันสมบัติทองโทโกรนและราคิตโทโกรนของไซคลอยด์จากการทดลอง
- 1.4.4 ได้ค่าท้องถิ่นของความเร่งเนื่องจากแรงโน้มถ่วงของโลก เพื่อใช้เป็นค่าอ้างอิงของค่าความเร่งเนื่องจากแรงโน้มถ่วงของโลกที่ได้จากการทดลองในห้องปฏิบัติการของมหาวิทยาลัย

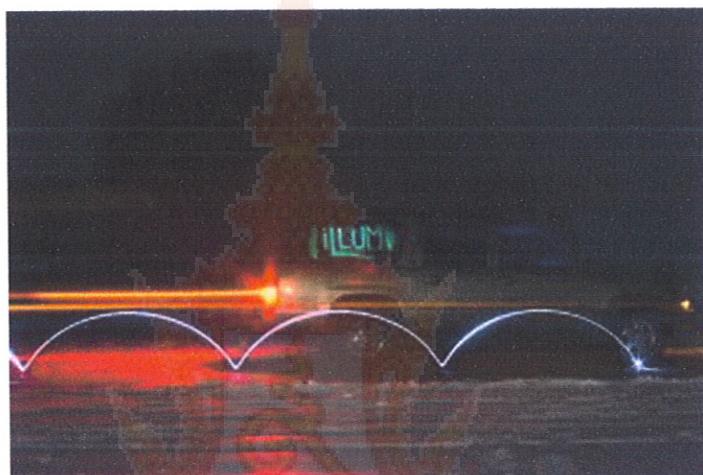


## บทที่ 2

### ทบทวนวรรณกรรมและงานวิจัยที่เกี่ยวข้อง

#### 2.1 สมการของทางโค้งไซคลอยด์

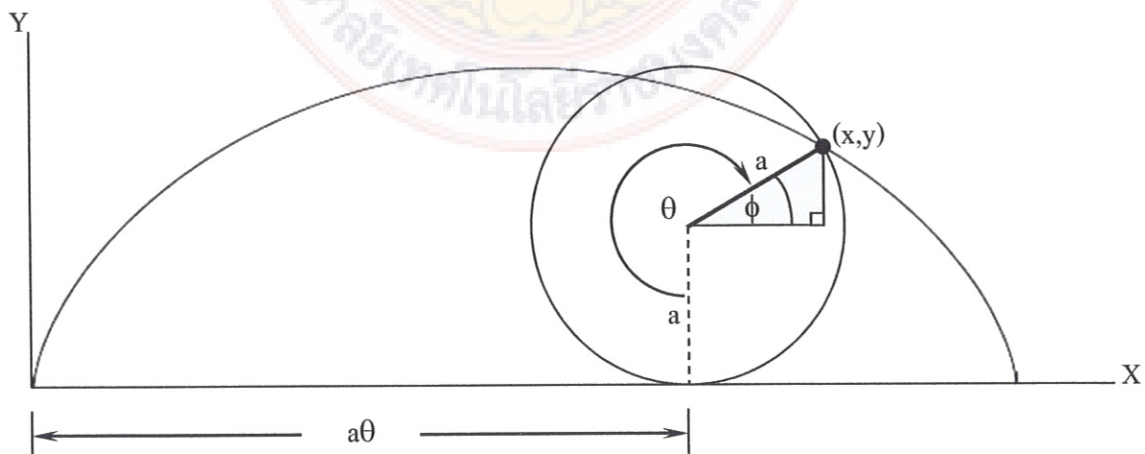
ทางโค้งไซคลอยด์เป็นเส้นโค้งซึ่งเป็นเส้นทางการเคลื่อนที่ของจุดจุดหนึ่งบนเส้นรอบวงของวงกลมที่กลิ้งไปบนทางราบ โดยไม่ลื้นไถ อย่างเช่น เส้นทางการเคลื่อนที่ของไดโอดเปล่งแสงซึ่งติดไว้ที่ขอบของล้อรถยนต์ ขณะที่รถยนต์กำลังเคลื่อนที่ในแนวเส้นตรงบนถนนราบ ดังภาพที่ 2.1



ที่มา: flickr.com, cycloid

ภาพที่ 2.1 ทางโค้งไซคลอยด์

ถ้ารัศมีของวงกลมที่กลิ้งไปบนทางราบเป็น  $a$  ขณะที่จุดจุดหนึ่งบนวงกลมหมุนไปเป็นมุม  $\theta$  จากตำแหน่งเริ่มต้น เนื่องจากไม่มีการลื้นไถ จุดศูนย์กลางของวงกลมจะเคลื่อนที่ไปเป็นระยะ  $a\theta$  ซึ่งมีค่าเท่ากับส่วนโค้งของวงกลมที่จุดบนวงกลมเคลื่อนที่ไป ดังภาพที่ 2.2



ภาพที่ 2.2 ตำแหน่งของจุดบนทางโค้งไซคลอยด์ขณะเวลาใด ๆ

ถ้าขอมูลนี้จุดบนวงกลมอยู่ที่ตำแหน่ง  $(x,y)$  ได ๆ บนทางโค้งไซคลอยด์ จากราฟที่ 2.2 จะพิจารณาได้ว่า

$$x = a\theta + a \cos \phi \quad \text{และ} \quad y = a + a \sin \phi$$

โดยที่  $\phi = \frac{3\pi}{2} - \theta$  จึงได้

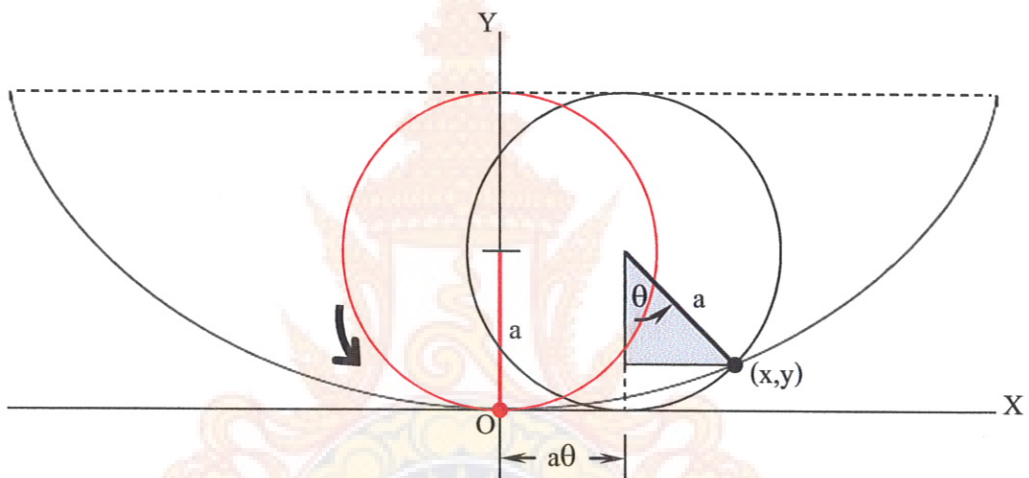
$$x = a\theta + a \cos\left(\frac{3\pi}{2} - \theta\right) = a\theta + a(-\sin \theta) \quad \text{และ} \quad y = a + a \sin\left(\frac{3\pi}{2} - \theta\right) = a + a(-\cos \theta)$$

ดังนั้น

$$x = a(\theta - \sin \theta) \quad \text{และ} \quad y = a(1 - \cos \theta) \quad (1)$$

สมการ (1) เรียกว่า สมการไซคลอยด์กรณีปกติ (Ordinary case cycloid)

พิจารณาทางโค้งไซคลอยด์ที่มีจุดยอดอยู่ที่จุดกำเนิด (Cycloid, vertex at origin) ดังภาพที่ 2.3



ภาพที่ 2.3 ทางโค้งไซคลอยด์ที่มีจุดยอดอยู่ที่จุดกำเนิด

เมื่อวงกลมหมุนไปเป็นมุม  $\theta$  จากจุดกำเนิด จุดศูนย์กลางของวงกลมจะเคลื่อนที่ไปเป็นระยะ  $a\theta$  ตามแนวราบ และข้อมูลนี้จุดบนวงกลมซึ่งเดินอยู่ที่จุดกำเนิด อยู่ห่าง  $x$  ตามแนวราบและอยู่สูง  $y$  ตามแนวตั้ง จากจุดกำเนิด จากราฟที่ 2.3 จะพิจารณาได้ว่า

$$x = a\theta + a \sin \theta \quad \text{และ} \quad y = a - a \cos \theta$$

โดยที่จุดบนวงกลมเป็นจุดใด ๆ บนทางโค้งไซคลอยด์ จึงได้สมการไซคลอยด์กรณีที่จุดยอดอยู่ที่จุดกำเนิดเป็น

$$x = a(\theta + \sin \theta) \quad \text{และ} \quad y = a(1 - \cos \theta) \quad (2)$$

## 2.2. สมบัติของトイโครอนของไซคลอยด์

ทอยต์โครอน (Tautochrone) มาจากภาษากรีก โดยมาจากการคำว่า *tauto* (tauto) ซึ่งแปลว่า เท่ากัน (same or isos) และคำว่า *χρονος* (chronos) ซึ่งแปลว่า เวลา (time)

ใช้คลอยด์สมบัติของโอลิเวอร์ โอลิเวอร์ เนื่องจากวัตถุที่ไม่เคลื่อนที่ไปตามทางโค้ง ใช้คลอยด์ซึ่งไม่มีความเสียดทาน ไม่ว่าตำแหน่งเริ่มต้นของวัตถุจะอยู่ที่ตำแหน่งใดบนเส้นโค้ง วัตถุจะเคลื่อนที่ลงไปถึงตำแหน่งต่อสุดพร้อมกัน โดยช้อยเกนส์ (Christiaan Huygens) นับเป็นคนแรกที่ค้นพบสมบัติของโอลิเวอร์ โอลิเวอร์ของใช้คลอยด์โดยได้พิมพ์การค้นพบนี้ใน Horologium oscillatorium เมื่อปี พ.ศ. 2216

สมบัติของโอลิเวอร์ โอลิเวอร์ของใช้คลอยด์พิสูจน์ได้ดังนี้

จากสมการใช้คลอยด์รูปนี้ปกติ คือ  $x = a(\theta - \sin \theta)$  และ  $y = a(1 - \cos \theta)$

เมื่อหาค่าอนุพันธ์เทียบกับ  $\theta$  จะได้

$$\frac{dx}{d\theta} = a(1 - \cos \theta) \quad \text{และ} \quad \frac{dy}{d\theta} = a \sin \theta$$

จึงได้

$$dx = a(1 - \cos \theta)d\theta \quad \text{และ} \quad dy = a \sin \theta d\theta$$

ยกกำลังสองแล้วนำมาบวกกัน จะได้

$$dx^2 + dy^2 = a^2 [(1 - 2 \cos \theta + \cos^2 \theta) + \sin^2 \theta] d\theta^2$$

จึงได้

$$dx^2 + dy^2 = 2a^2 (1 - \cos \theta) d\theta^2 \quad (3)$$

จากกฎการอนุรักษ์ของพลังงานกล ถ้าวัตถุเริ่มไม่เคลื่อนที่อยู่สูง  $y$  จากตำแหน่งต่ำสุด และวัตถุมีอัตราเร็วเป็น  $v$  เมื่อไอลองมาถึงตำแหน่งต่ำสุด จะได้

$$\frac{1}{2}mv^2 = mgy$$

จึงได้

$$v = \sqrt{2gy}$$

$$\text{จาก } v = \frac{ds}{dt} \text{ จะได้ } dt = \frac{ds}{v}$$

จึงได้

$$dt = \frac{ds}{\sqrt{2gy}} \quad (4)$$

เมื่อ  $ds$  เป็นระยะทางสั้น ๆ ที่วัดไปตามโค้ง ใช้คลอยด์ซึ่งเป็นเส้นทางการเคลื่อนที่โดยที่

โดยที่

$$ds = \sqrt{dx^2 + dy^2} \quad (5)$$

จากสมการ (3) และสมการ (5) จะได้  $ds = a\sqrt{2(1 - \cos \theta)} d\theta$

จากสมการ (4) จะได้

$$dt = \frac{a\sqrt{2(1 - \cos \theta)} d\theta}{\sqrt{2gy}}$$

โดยที่  $y = a(1 - \cos \theta)$  จึงได้

$$dt = \frac{a\sqrt{2(1 - \cos \theta)} d\theta}{\sqrt{2ga(1 - \cos \theta)}}$$

และ

$$dt = \sqrt{\frac{a}{g}} d\theta \quad (6)$$

ดังนั้นเวลาที่ใช้ในการเคลื่อนที่จากจุดสูงสุดไปยังจุดต่ำสุดของใช้คลอยด์จึงมีค่าเป็น

$$t = \sqrt{\frac{a}{g}} \int_0^\pi d\theta = \sqrt{\frac{a}{g}} \pi \quad (7)$$

ถ้าเริ่มเคลื่อนที่จากจุดซึ่งอยู่ระหว่างจุดสูงสุดกับจุดต่ำสุด ซึ่งมีตำแหน่งเชิงมุมเป็น  $\theta_0$  อัตราเร็วที่คำแห่นงใจ ๆ จะมีค่าเป็น

$$v = \frac{ds}{dt} = \sqrt{2g(y - y_0)} \quad (8)$$

โดยที่  $y - y_0 = a(1 - \cos \theta) - a(1 - \cos \theta_0) = a(\cos \theta_0 - \cos \theta)$

ดังนั้น  $t = \int_{\theta_0}^{\pi} \sqrt{\frac{2a^2(1 - \cos \theta)}{2ag(\cos \theta_0 - \cos \theta)}} d\theta$

หรือ  $t = \sqrt{\frac{a}{g}} \int_{\theta_0}^{\pi} \sqrt{\frac{1 - \cos \theta}{\cos \theta_0 - \cos \theta}} d\theta \quad (9)$

เนื่องจาก  $\cos \theta = \cos\left(\frac{\theta}{2} + \frac{\theta}{2}\right) = \cos^2 \frac{\theta}{2} - \sin^2 \frac{\theta}{2}$  และ  $\sin^2 \frac{\theta}{2} + \cos^2 \frac{\theta}{2} = 1$

จึงได้  $\cos \theta = 1 - \sin^2 \frac{\theta}{2} - \sin^2 \frac{\theta}{2} = 1 - 2 \sin^2\left(\frac{\theta}{2}\right)$

หรือ  $\cos \theta = \cos^2 \frac{\theta}{2} - \left(1 - \cos^2 \frac{\theta}{2}\right) = 2 \cos^2\left(\frac{\theta}{2}\right) - 1$

ดังนั้น  $1 - \cos \theta = 2 \sin^2 \frac{\theta}{2}$

และ  $\cos \theta_0 - \cos \theta = 2 \cos^2\left(\frac{\theta_0}{2}\right) - 1 - 2 \cos^2\left(\frac{\theta}{2}\right) + 1 = 2 \left[ \cos^2\left(\frac{\theta_0}{2}\right) - \cos^2\left(\frac{\theta}{2}\right) \right]$

จึงได้  $\sqrt{\frac{1 - \cos \theta}{\cos \theta_0 - \cos \theta}} = \sqrt{\frac{2 \sin^2(\theta/2)}{2[\cos^2(\theta_0/2) - \cos^2 \theta]}} = \frac{\sin(\theta/2)}{\sqrt{\cos^2(\theta_0/2) - \cos^2(\theta/2)}}$

จากสมการ (9) จะได้

$$t = \sqrt{\frac{a}{g}} \int_0^{\pi} \frac{\sin(\theta/2)}{\sqrt{\cos^2(\theta_0/2) - \cos^2(\theta/2)}} d\theta \quad (10)$$

เปลี่ยนตัวแปรเป็น

$$u = \frac{\cos \frac{1}{2} \theta}{\cos \frac{1}{2} \theta_0}$$

เมื่อหาค่าอนุพันธ์จะได้

$$du = -\frac{1}{2} \frac{\sin(\theta/2)}{\cos(\theta_0/2)} d\theta$$

ดังนั้น  $\sin(\theta/2)d\theta = -2 \cos(\theta_0/2)du$

จากสมการ (10) จึงได้  $t = \sqrt{\frac{a}{g}} \int_0^{\pi} \frac{-2 \cos(\theta_0/2)}{\sqrt{\cos^2(\theta_0/2) - \cos^2(\theta/2)}} du$

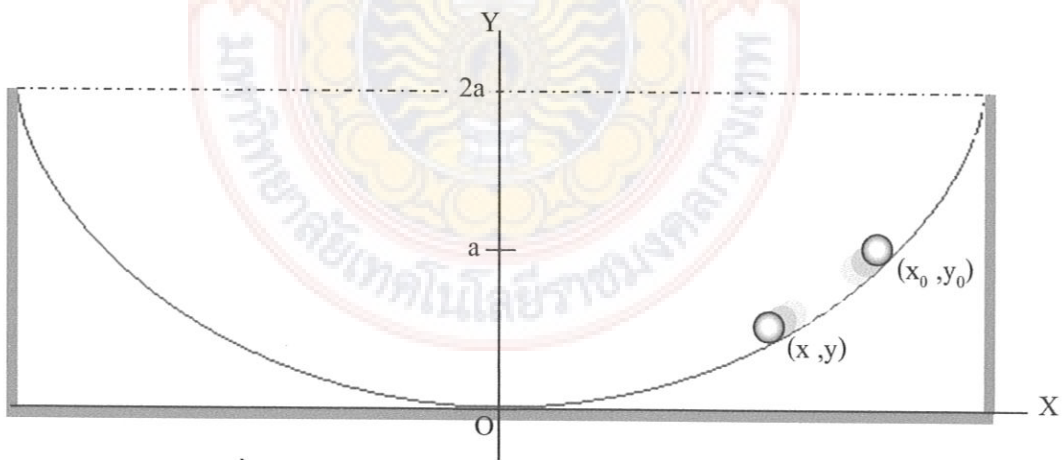
$$\begin{aligned}
 &= -2 \sqrt{\frac{a}{g}} \int_0^{\pi} \frac{du}{\sqrt{1 - \{[\cos^2(\theta/2)]/[\cos^2(\theta_0/2)]\}}} \\
 &= -2 \sqrt{\frac{a}{g}} \int_1^0 \frac{du}{\sqrt{1-u^2}} \\
 &= -2 \sqrt{\frac{a}{g}} (\sin^{-1} u)_1^0 \\
 \text{และ} \quad t &= \pi \sqrt{\frac{a}{g}}
 \end{aligned}$$

วัตถุจึงใช้เวลาในการเคลื่อนที่เท่ากันไม่ว่าจะเริ่มเคลื่อนที่ลงมาจากจุดใหม่ยังจุดต่ำสุด กล่าวคือ วัตถุใช้เวลาเท่ากันในการเคลื่อนที่บนทางโค้งไซคลอยด์ช่วงยาวและช่วงสั้น

ด้วยเหตุนี้วัตถุ 2 ชิ้น ที่วางไว้คนละด้านของจุดต่ำสุดบนทางโค้งไซคลอยด์ที่ไม่มีความเสียดทาน เมื่อปล่อยให้ไถลลงมาพร้อมกัน วัตถุทั้งสองจะกระทบกันที่จุดต่ำสุดของทางโค้งไซคลอยด์เสมอ ไม่ว่า วัตถุชิ้นหนึ่งจะเริ่มต้นเคลื่อนที่จากตำแหน่งใดก็ตามแห่งต่ำสุดมากกว่าหรือน้อยกว่าวัตถือกชิ้นหนึ่ง เท่าใด

นอกจากนี้ลูกศรที่กำลังออกอสซิลเลต (ไฮโลไปมา) รอบจุดต่ำสุดบนทางโค้งไซคลอยด์ที่ไม่มี ความเสียดทาน จะมีความของการอสซิลเลตเท่าเดิม ไม่ว่าจุดเริ่มต้นปล่อยให้ลูกศรเคลื่อนที่อยู่ห่าง จากจุดต่ำสุดเท่าใด กล่าวคือ ความของการอสซิลเลตของลูกศรที่มีบนทางโค้งไซคลอยด์ที่ไม่มี ความเสียดทานไม่ขึ้นกับแยมพลิกของ การอสซิลเลต ซึ่งพิสูจน์ได้ดังนี้

พิจารณาลูกศรที่มีมวล  $m$  ที่กำลังออกอสซิลเลตบนทางโค้งไซคลอยด์ ถ้าลูกศรเริ่มต้นออกอสซิลเลตจาก ตำแหน่ง  $(x_0, y_0)$  ลงมาชั่วโมง  $(x, y)$  และที่ลูกศรอยู่ที่ตำแหน่ง  $(x, y)$  ดังภาพที่ 2.4



ภาพที่ 2.4 การอสซิลเลตของลูกศรที่มีบนทางโค้งไซคลอยด์

จากสมการไซคลอยด์กรณีที่จุดยอดอยู่ที่จุดกำเนิด คือ  $x = a(\theta + \sin \theta)$  และ  $y = a(1 - \cos \theta)$  เมื่อหาค่าอนุพันธ์เทียบกับเวลา จะได้

$$\dot{x} = a(\dot{\theta} + \cos \theta \dot{\theta}) = a(1 + \cos \theta) \dot{\theta} \quad \text{และ} \quad \dot{y} = a(0 + \sin \theta \dot{\theta}) = a \sin \theta \dot{\theta}$$

ยกกำลังสอง จะได้

$$\dot{x}^2 = a^2(1 + 2 \cos \theta + \cos^2 \theta) \dot{\theta}^2 \quad \text{และ} \quad \dot{y}^2 = a^2 \sin^2 \theta \dot{\theta}^2$$

จากกฎการอนุรักษ์ของพลังงานกล เมื่อพิจารณาพลังงานรวมที่ตำแหน่ง  $(x_0, y_0)$  และตำแหน่ง

$(x, y)$  โดยให้จุดยอดของทางโค้งใช้คลื่นเป็นจุดอ้างอิงศูนย์สำหรับพลังงานศักย์โน้มถ่วง จะได้

$$mgy_0 = \frac{1}{2}mv^2 + mgy \quad \text{หรือ} \quad gy_0 = \frac{v^2}{2} + gy \quad \text{และ} \quad g(y_0 - y) = \frac{1}{2}v^2$$

$$\text{โดยที่ } v^2 = v_x^2 + v_y^2 = \dot{x}^2 + \dot{y}^2 \quad \text{จึงได้ } g(y_0 - y) = \frac{1}{2}(\dot{x}^2 + \dot{y}^2)$$

เมื่อแทนค่า  $y_0 = a(1 - \cos \theta_0)$ ,  $y, \dot{x}^2, \dot{y}^2$  จะได้

$$ga(1 - \cos \theta_0 - 1 + \cos \theta) = \frac{a^2}{2}(1 + 2 \cos \theta + \cos^2 \theta + \sin^2 \theta) \dot{\theta}^2 = \frac{a^2}{2}(2 + 2 \cos \theta) \dot{\theta}^2$$

จึงได้

$$ga(\cos \theta - \cos \theta_0) = a^2(1 + \cos \theta) \dot{\theta}^2$$

$$\dot{\theta}^2 = \frac{g}{a} \frac{(\cos \theta - \cos \theta_0)}{(1 + \cos \theta)} \quad \text{และ} \quad \dot{\theta} = \sqrt{\frac{g}{a}} \sqrt{\frac{\cos \theta - \cos \theta_0}{1 + \cos \theta}}$$

หรือ

$$\frac{d\theta}{dt} = \sqrt{\frac{g}{a}} \sqrt{\frac{\cos \theta - \cos \theta_0}{1 + \cos \theta}} \quad \text{และ} \quad \sqrt{\frac{1 + \cos \theta}{\cos \theta - \cos \theta_0}} d\theta = \sqrt{\frac{g}{a}} dt$$

$$\text{เนื่องจาก } \cos \theta = \cos \left( \frac{\theta}{2} + \frac{\theta_0}{2} \right) = \cos^2 \frac{\theta}{2} - \sin^2 \frac{\theta}{2} = \cos^2 \frac{\theta}{2} - \left( 1 - \cos^2 \frac{\theta}{2} \right) = \left( 2 \cos^2 \frac{\theta}{2} \right) - 1$$

$$\text{จึงได้ } 1 + \cos \theta = 2 \cos^2 \frac{\theta}{2}$$

$$\text{และ } \cos \theta - \cos \theta_0 = 2 \cos^2 \frac{\theta}{2} - 1 - 2 \cos^2 \frac{\theta_0}{2} + 1 = 2 \left( \cos^2 \frac{\theta}{2} - \cos^2 \frac{\theta_0}{2} \right)$$

$$\text{แทนค่า } 1 + \cos \theta \text{ และ } \cos \theta - \cos \theta_0 \text{ ลงในสมการ } \sqrt{\frac{1 + \cos \theta}{\cos \theta - \cos \theta_0}} d\theta = \sqrt{\frac{g}{a}} dt \quad \text{จะได้}$$

$$\sqrt{\frac{2 \cos^2(\theta/2)}{2 [\cos^2(\theta/2) - \cos^2(\theta_0/2)]}} d\theta = \sqrt{\frac{g}{a}} dt$$

$$\text{และ} \quad \frac{\cos(\theta/2)}{\sqrt{\cos^2(\theta/2) - \cos^2(\theta_0/2)}} d\theta = \sqrt{\frac{g}{a}} dt$$

$$\text{เนื่องจาก } \cos(\theta/2) d\theta = 2 d[\sin(\theta/2)]$$

$$\text{และ } \cos^2(\theta/2) - \cos^2(\theta_0/2) = 1 - \sin^2(\theta/2) - 1 + \sin^2(\theta_0/2) = \sin^2(\theta_0/2) - \sin^2(\theta/2)$$

จึงได้

$$\frac{2 d \sin(\theta/2)}{\sqrt{\sin^2(\theta_0/2) - \sin^2(\theta/2)}} = \sqrt{\frac{g}{a}} dt$$

อินดิกราท โดยเริ่มจับเวลาในการออสซิลเลตจากจุดยอดของทางโค้งไซคลอยด์ ( $\theta = 0$ ) ไปยังตำแหน่งไกลสุดของการออสซิลเลต ซึ่งในกรณีนี้คือตำแหน่งเริ่มต้นของการออสซิลเลต ( $\theta = \theta_0$ ) ทั้งนี้เพื่อให้  $\theta$  เปลี่ยนแปลงในลักษณะที่มีค่าเพิ่มขึ้น ( $d\theta$  เป็นบวก) โดยที่เวลาในการออสซิลเลตระหว่าง 2 ตำแหน่งดังกล่าวมีค่าเป็น 1 ใน 4 ของความของการออสซิลเลต จึงได้

$$2 \int_0^{\theta_0} \frac{d \sin(\theta/2)}{\sqrt{\sin^2(\theta_0/2) - \sin^2(\theta/2)}} = \sqrt{\frac{g}{a}} \int_0^{T/4} dt = \sqrt{\frac{g}{a}} \left( \frac{T}{4} \right)$$

โดยที่  $\int \frac{du}{\sqrt{b^2 - u^2}} = \sin^{-1}\left(\frac{u}{b}\right) + C$  จึงได้

$$\sqrt{\frac{g}{a}} \left( \frac{T}{4} \right) = 2 \sin^{-1} \left( \frac{\sin(\theta/2)}{\sin(\theta_0/2)} \right)_0^{\theta_0} = 2 \sin^{-1}(1) = 2(\pi/2) = \pi$$

ดังนั้น  $T = 4\pi \sqrt{\frac{a}{g}} = 2\pi \sqrt{\frac{4a}{g}}$  (11)

จากสมการ (11) จะพิจารณาได้ว่า ความของการออสซิลเลตของลูกศุमบนทางโค้งไซคลอยด์ ไม่ขึ้นกับแอนพลิจูดของการออสซิลเลต

ถ้าเปลี่ยนจากการไถลไปเป็นการกลิ้ง โดยไม่มีการไถลบนทางโค้งไซคลอยด์ เวลาที่ใช้ในการเคลื่อนที่จะเพิ่มขึ้นเนื่องจากมีการสูญเสียพลังงานจากการกลิ้งด้วย

$$\text{เนื่องจากพลังงานจนน์ในการกลิ้งมีค่าเป็น } \frac{1}{2} I \omega^2$$

เมื่อ  $I$  แทนโมเมนต์ของความเร็ว และ  $\omega$  แทนอัตราเร็วเชิงมุมในการกลิ้ง จากกฎการอนุรักษ์ของพลังงานกล จึงได้

$$mgy = \frac{1}{2} mv^2 + \frac{1}{2} I \omega^2$$

โดยที่  $v = \omega r$  เมื่อ  $r$  แทนรัศมีของลูกศุม (ทรงกลมตัน) และ  $I = kmr^2$  เมื่อ  $k$  แทนค่าคงที่

$$\text{จึงได้ } mgy = \frac{1}{2} mv^2 + \frac{1}{2} (kmr^2) \left( \frac{v^2}{r^2} \right) = \frac{1}{2} mv^2 (1 + k)$$

ดังนั้น  $v = \sqrt{\frac{2gy}{1+k}} = \sqrt{2g * y}$  (12)

ต่อมาการคำนวณหาเวลาที่ใช้ในการเคลื่อนที่ลงมาถึงจุดต่ำสุดและคำนในการออสซิลเลต เมื่อ การเคลื่อนที่เป็นแบบกลิ้ง โดยไม่มีการไถล ก็คำนวณการแบบเดียวกับการเคลื่อนที่แบบไถล โดยไม่มี การกลิ้ง เพียงแต่แทน  $g$  ด้วย  $g *$  เท่านั้น

ความของการออกแบบชิลเดตของลูกศุ่มนทาง โถง ไซคลอยด์ เมื่อลูกศุ่มเคลื่อนที่แบบกลิ้ง โดยไม่มีการไถลจึงมีค่าเป็น

$$T = 2\pi \sqrt{\frac{4a}{g^*}} \quad (13)$$

เมื่อ  $g^* = \frac{g}{1+k}$  และ  $k = 0.4$  สำหรับทรงกลมตัน

### 2.3 ชิมเปล เพนดูลัม และไซคลอยดัล เพนดูลัม

การแก่วงแบบชิมเปล เพนดูลัม ลูกศุ่มจะแก่วงไปตามเส้นทางที่เป็นส่วนโถงของวงกลมที่มีความยาวเชือกเป็นรัศมี เมื่อแอนเพลจูดของการแก่วงเป็นมุมเล็ก ๆ ( $< 5^\circ$ ) จะเป็นการเคลื่อนที่แบบชิมเปลหาร์โนนิก โดยคำนวณการแก่วงมีค่าเป็น

$$T = 2\pi \sqrt{\frac{L}{g}} \quad (14)$$

ซึ่งขึ้นกับความยาวเชือกเท่านั้น ไม่ขึ้นกับมวลของลูกศุ่มและแอนเพลจูดของการแก่วง เมื่อแอนเพลจูดของการแก่วงเป็นมุมโตขึ้น แต่ไม่มากนัก คำนวณการแก่วงไม่ขึ้นกับมวลของลูกศุ่ม แต่ขึ้นกับความยาวเชือกและแอนเพลจูดของการแก่วง โดยมีค่าตามสมการ

$$T = 2\pi \sqrt{\frac{L}{g}} \left( 1 + \frac{\theta_0^2}{16} \right) \quad (15)$$

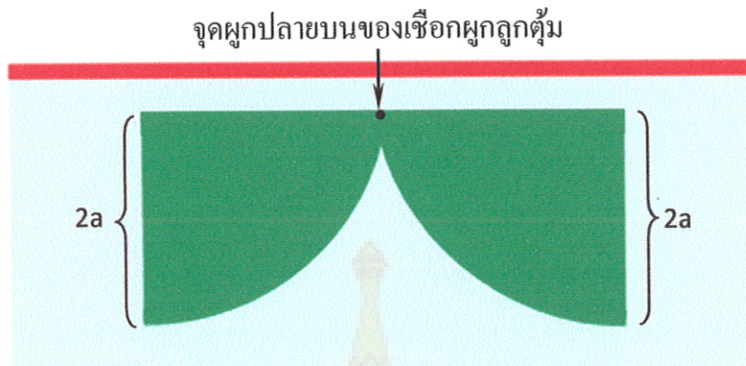
เมื่อ  $\theta_0$  มีหน่วยเป็นเรเดียน

การแก่วงแบบชิมเปล เพนดูลัม จึงไม่เป็นไอโซโครนัส (Isochronous) แท้จริง (ไอโซโครนัส มาจากคำว่า isos และ chronos ในภาษากรีก โดย isos แปลว่า เท่ากัน และ chronos แปลว่า เวลา) เพราะคำนวณการแก่วงเพิ่มขึ้นตามแอนเพลจูดในการแก่วง

ส่วนการแก่วงแบบไซคลอยดัล เพนดูลัม ลูกศุ่มจะแก่วงไปตามเส้นทางที่เป็นไซคลอยด์ จากสมบัติของไซคลอยด์ คำนวณการแก่วงแบบไซคลอยดัล เพนดูลัม จึงมีค่าคงที่ (เท่ากัน) ไม่ว่าแอนเพลจูดของการแก่วงจะเป็นเท่าใด การแก่วงแบบไซคลอยดัล เพนดูลัม จึงเป็นไอโซโครนัสแท้จริงหรือเป็นไอโซโครนัสสมบูรณ์แบบ

ลูกศุ่มจะแก่วงไปตามเส้นทางไซคลอยด์ได้ต้องวางเงื่อนไขเส้นทางการเคลื่อนที่ให้กับลูกศุ่ม โดยให้เชือกที่ผูกลูกศุ่มวางตัวบนโปรไฟล์ (Profile) ที่เหนือนกัน 2 โปรไฟล์ จากความรู้ทางคณิตศาสตร์พบว่าโปรไฟล์นี้ต้องมีอินโวลูท (Involute) เป็นไซคลอยด์ และน่าประหลาดที่อินโวลูทของไซคลอยด์เป็นไซคลอยด์เช่นกัน โปรไฟล์ที่ให้เชือกที่ผูกลูกศุ่มวางตัวเพื่อบังกับให้ลูกศุ่มแก่วงไปตามเส้นทางไซคลอยด์ จึงเป็นส่วนโถงไซคลอยด์ 2 ไซคลอยด์ (ส่วนใหญ่เป็นครึ่งโถงไซคลอยด์) ที่

ประกอบกันเป็นโค้งยอดแหลม โดยปลายบนของเสือกผูกลูกตุ้มผูกไว้ที่จุดยอดของโค้งยอดแหลม ดังภาพที่ 2.5



ภาพที่ 2.5 ไฟล์ที่ให้เชือกที่ผูกลูกตุ้มวางตัวเพื่อบังคับให้ลูกตุ้มแกว่งไปตามเส้นทางไซคลอยด์

การแกว่งแบบไซคลอยด์ เพนดูลัม ลูกตุ้มเคลื่อนที่ไปตามเส้นทางไซคลอยด์ เช่นเดียวกับการอสซิลเลตของลูกตุ้มน้ำรยางค์ไซคลอยด์ ความของการแกว่งแบบไซคลอยด์ตัด เพนดูลัม จึงมีค่าเป็น

$$T = 2\pi \sqrt{\frac{4a}{g}} \text{ เช่นกัน (เมื่อ } a \text{ แทนรัศมีของวงกลมที่เป็นด้านกำเนิดไซคลอยด์)} \text{ ถ้าเชือกที่ผูกลูกตุ้มยาว} 4a \text{ เมื่อแกว่งอยู่ระหว่างไฟล์ปีก็จะมีเวลาในการแกว่งเท่ากับเวลาของการแกว่งแบบซิมเพล เพนดูลัม เมื่อแฉมพลีจุด} 2a \text{ ความของการแกว่งจะมีค่าเท่ากับความของการแกว่งแบบซิมเพล} 4a \text{ เมื่อแกว่งเป็นมุมเด็ก ๆ ซึ่งเป็นการเคลื่อนที่แบบซิมเพลหาร์โนนิก}$$

#### 2.4 สมบัติบรากิสโทโครนของไซคลอยด์

บรากิสโทโครน (Brachistochrone) มาจากภาษากรีก โดยมาจากคำว่า  $\beta\rho\alpha\chi\sigma\tauος$  (brachistos) ซึ่งแปลว่า สั้นที่สุด (the shortest) และคำว่า  $\chiρoνoς$  (chronos) ซึ่งแปลว่า เวลา (time)

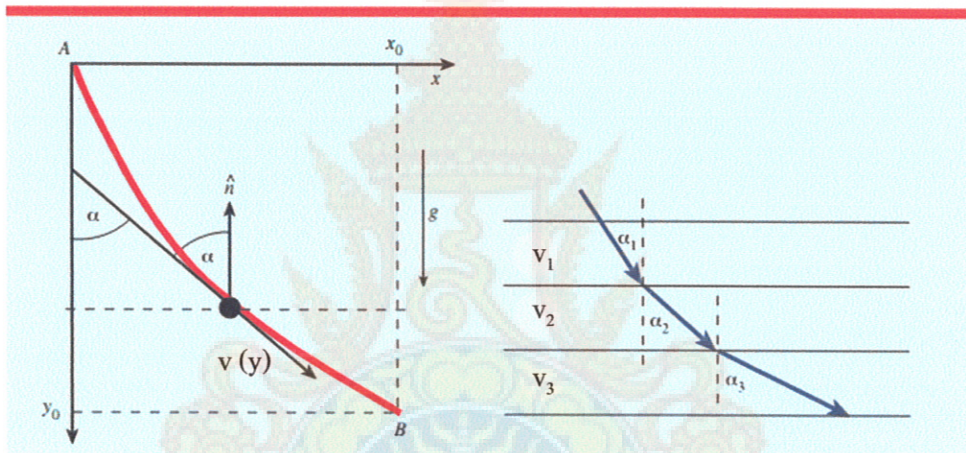
ไซคลอยด์มีสมบัติบรากิสโทโครนเนื่องจากในการเคลื่อนที่ระหว่าง 2 จุดใด ๆ ในระบบแนวคิ่งไปตามเส้นทางรูปร่างต่าง ๆ ที่เชื่อมต่อระหว่าง 2 จุด นั้น ๆ การเคลื่อนที่ตามเส้นทางไซคลอยด์จะใช้เวลา น้อยที่สุด

การพิสูจน์สมบัติบรากิสโทโครนของไซคลอยด์อาจพิสูจน์โดยใช้หลักของเฟร์มัต (Fermat's principle) หรือแคลคูลัสของความแปรผัน (Calculus of variation) ดังนี้

##### 1. การพิสูจน์ด้วยหลักของเฟร์มัต

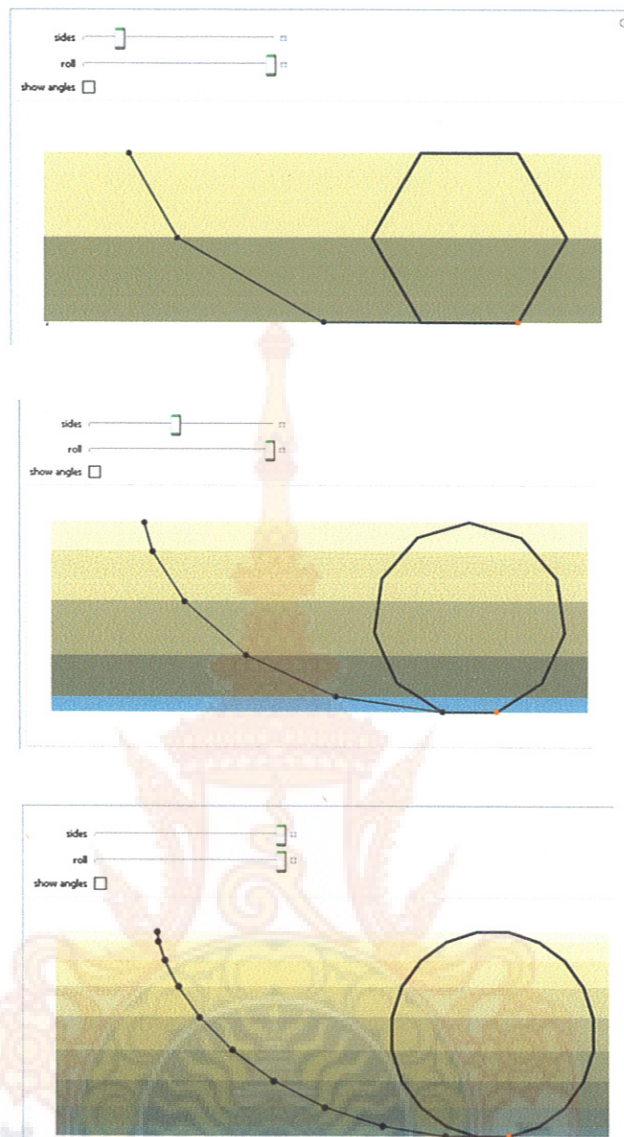
ถ้าอนุภาชนะจากจุด A (0,0) ไปยังจุด B ( $x_0, y_0$ ) ตามเส้นทางซึ่งใช้เวลาในการเคลื่อนที่น้อยที่สุด ดังภาพที่ 8 (ก) เส้นทางนี้จะได้รับการยืนยันว่าเป็นเส้นทางที่ใช้เวลาน้อยที่สุด ถ้าเป็น

เส้นทางการเคลื่อนที่ของรังสีแสงจากจุด A ไปยังจุด B เนื่องจากความหลักของเฟรนมาต์ แสงจะเดินทางไปตามเส้นทางซึ่งใช้เวลาอยู่ที่สุด ความเร็วในการเคลื่อนที่ของอนุภาคเปลี่ยนแปลงไปตามตำแหน่งต่าง ๆ บนเส้นทางการเคลื่อนที่ โดยความเร็วที่ตำแหน่งใดจะอยู่ในแนวเส้นสัมผัสเส้นทางการเคลื่อนที่ที่ตำแหน่งนั้น ดังแสดงไว้ในภาพที่ 2.6 (ก) ขณะที่ความเร็วแสงมีค่าคงที่และเดินทางเป็นเส้นตรงในตัวกลางที่มีดัชนีหักเหคงที่ค่านั่น การเชื่อมโยงการเคลื่อนที่ของอนุภาคกับรังสีแสงจึงต้องแบ่งตัวกลางที่แสงเคลื่อนผ่านเป็นระนาบขนาดกัน โดยแต่ละระนาบมีดัชนีหักเหต่างกัน ดังภาพที่ 2.6 (ข) ซึ่งกำหนดให้ระนาบด้านบนมีดัชนีหักเหสูงสุด (ความเร็วแสงต่ำสุด) และระนาบด้านล่างมีดัชนีหักเหลดลงไปเป็นลำดับ (ความเร็วแสงเพิ่มขึ้น) ทำให้เกิดความสอดคล้องกันระหว่างความเร็วในการเคลื่อนที่ของอนุภาคกับความเร็วแสง



ภาพที่ 2.6 การเชื่อมโยงการเคลื่อนที่ของอนุภาคกับรังสีแสง

ถ้าระนาบที่แบ่งมีจำนวนมากขึ้น เส้นทางการเคลื่อนที่ของแสงจะเริ่มเป็นเส้นโค้งซึ่งพิจารณาได้จากภาพที่ 2.7 โดยเส้นทางการเคลื่อนที่ของแสงจะเป็นไฮคลอปด์เมื่อจำนวนระนาบที่แบ่งเป็นอนันต์



ภาพที่ 2.7 เส้นทางการเคลื่อนที่ของแสงเมื่อระนาบที่แบ่งมีจำนวนมากขึ้น

จากกฎของสเนลล์ เมื่อพิจารณาภาพที่ 8 จะได้

$$\sin \alpha_i / v_i = \text{const.} \quad (16)$$

เมื่อระนาบที่แบ่งมีจำนวนมากหรือกรณีที่ระนาบแต่ละชั้นบางมาก  $\alpha$  และ  $v$  จะเป็น

ปริมาณที่เปลี่ยนแปลงอย่างต่อเนื่องและขึ้นอยู่กับค่า  $x$  และ  $y$  จึงได้

$$\sin \alpha_{x,y} / v_{x,y} = \text{const.} \quad (17)$$

ความเร็วของอนุภาคเมื่อเคลื่อนที่ลงมาเป็นระบบ  $y$  มีค่าเป็น  $v = \sqrt{2gy}$

ถ้าเลือกให้จุดต่ำสุดอยู่ที่  $y = 2R$  (เมื่อ  $R$  แทนรัศมีของวงกลมที่เป็นต้นกำเนิด ไซคลอยด์) โดยที่  $\alpha = 90^\circ$  ที่ตำแหน่งต่ำสุด จึงได้

$$v = \sqrt{2gy} = \sqrt{4gR}$$

ค่าคงที่ในสมการ (16) จึงมีค่าเป็น  $const. = \sin 90^\circ / \sqrt{4gR} = 1 / \sqrt{4gR}$

จากสมการ (17) จึงได้

$$v_{x,y} = \sin \alpha_{x,y} \sqrt{4gR} \quad (18)$$

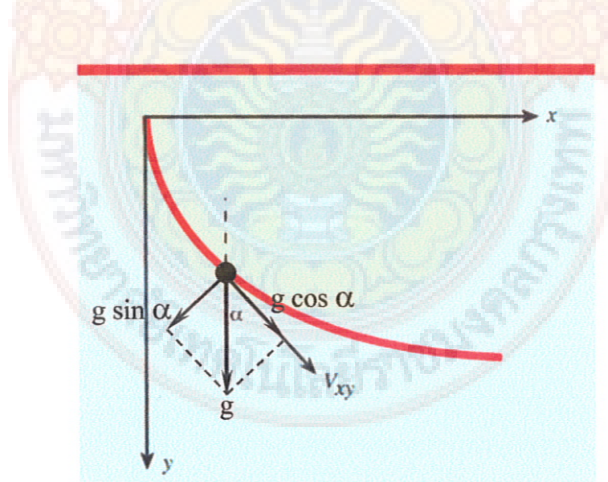
ซึ่งเป็นความเร็วของอนุภาคตามเส้นทางซึ่งรั้งสีแสดงเดินทางจึงเป็นเส้นทางที่ใช้เวลา  
น้อยที่สุด

เส้นทางได้มาจากการอินติเกรทความเร็วซึ่งจำเป็นต้องวัด  $\alpha_{x,y}$  ก่อน โดยค่า  $\alpha_{x,y}$   
มีขั้นตอนในการหาดังนี้

จากสมการ (18) ความเร็วของอนุภาคในแนวเส้นสัมผัสเส้นทางที่จุดใด ๆ มีค่าเป็น

$$a = dv/dt = (d\alpha/dt) \cos \alpha \sqrt{4gR} \quad (19)$$

เนื่องจากความเร็วของอนุภาคที่ตำแหน่งใด ๆ บนเส้นทาง จะอยู่ในแนวเส้นสัมผัสกับ  
เส้นโค้ง ซึ่งอ้างทำมุน  $\alpha$  กับแนวคี่ ขณะที่ความเร็วเนื่องจากแรงโน้มถ่วงของโลกอยู่ในแนวคี่  
ดังภาพที่ 2.8



ภาพที่ 2.8 ความเร็วของอนุภาคที่ตำแหน่งใด ๆ บนเส้นทางการเคลื่อนที่

ความเร็วในแนวเส้นสัมผัสเส้นทางการเคลื่อนที่จึงมีค่าเป็น  $a = g \cos \alpha$   
เมื่อเปรียบเทียบกับสมการ (19) จะได้

$$d\alpha/dt = \sqrt{g/4R} = b \quad (20)$$

เมื่อ  $b$  เป็นกำลังที่ ดังนั้น  $\alpha$  จึงเพิ่มขึ้นอย่างคงที่ (เชิงเส้น) ตามเวลา ก่อให้คือ  $\alpha = bt$  เมื่อแทนกลับลงไปในสมการ (18) จะได้

$$v = (4R)b \sin(bt) \quad (21)$$

การอนติกราฟจะจ่ายมากถ้าแยกออกเป็นองค์ประกอบ  $v_x, v_y$  โดยที่

$$v_x = v \sin \alpha = 4Rb \sin^2(bt) = 2Rb(1 - \cos 2bt)$$

และ  $v_y = v \cos \alpha = 2Rb \sin(2bt)$

เมื่ออนติกราฟและจักรูปสมการใหม่ จะได้

$$x = R(2\alpha - \sin 2\alpha) \text{ และ } y = R(1 - \cos 2\alpha) \quad (22)$$

ซึ่งเป็นสมการพารามิตริกของไซคลอยด์

## 2. การพิสูจน์ด้วยแคลคูลัสของการแปรผัน

ถ้าเวลาในการเคลื่อนที่ของอนุภาคจากจุด  $P_1$  ไปยังจุด  $P_2$  กำหนดโดยอินทิกรัล

$$t_{12} = \int_{P_1}^{P_2} \frac{ds}{v} \quad (23)$$

เมื่อ  $s$  เป็นความยาวของส่วนโค้ง และ  $v$  เป็นอัตราเร็วที่จุดใด ๆ ซึ่งมีค่าเป็น  $v = \sqrt{2gy}$  แทนค่า  $v$  ลงในสมการ (23) พร้อมด้วยเอกลักษณ์  $ds = \sqrt{dx^2 + dy^2} = \sqrt{1+y'^2} dx$  จะได้

$$t_{12} = \int_{P_1}^{P_2} \frac{\sqrt{1+y'^2}}{\sqrt{2gy}} dx = \int_{P_1}^{P_2} \sqrt{\frac{1+y'^2}{2gy}} dx$$

ฟังก์ชันที่ต้องแปรผัน (vary) จึงเป็น

$$f = (1+y'^2)^{1/2} (2gy)^{-1/2} \quad (24)$$

จากสมการเชิงอนุพันธ์ออยเลอร์-拉格朗จ์ (Euler-Lagrange differential equation)

$$\frac{\partial f}{\partial y} - \frac{d}{dx} \left( \frac{\partial f}{\partial y'} \right) = 0 \quad (25)$$

เนื่องจาก  $x$  ไม่ปรากฏขัดแจ้งในฟังก์ชัน  $f = (y, y')$  ในสมการ (24) ดังนั้น  $\partial f / \partial x = 0$  จึงใช้เอกลักษณ์เบลตรามี (Beltrami identity) ได้ ซึ่งได้ผลเป็น

$$f - y' \left( \frac{\partial f}{\partial y'} \right) = C \quad (26)$$

เมื่อหาอนุพันธ์ย่อยเทียบ  $y'$  จะได้

$$\frac{\partial f}{\partial y'} = y'(1+y'^2)^{-1/2} (2gy)^{-1/2} \quad (27)$$

แทนค่า  $f$  จากสมการ (24) และค่า  $\partial f / \partial y'$  จากสมการ (27) ลงในสมการ (26) แล้ว  
จัดรูปสมการใหม่ได้เป็น

$$\frac{1}{\sqrt{2gy}\sqrt{1+y'^2}} = C \quad (28)$$

ยกกำลังสองทั้งสองข้างและจัดรูปสมการใหม่ได้เป็น

$$\left[ 1 + \left( \frac{dy}{dx} \right)^2 \right] y = \frac{1}{2gC^2} = k^2 \quad (29)$$

เมื่อ  $k^2$  เป็นค่าคงที่

หากคำตอบของสมการนี้ในรูปสมการพารามิตริก (parametric equations) ได้คำตอบเป็น

$$x = \frac{1}{2}k^2(\theta - \sin \theta) \quad (30)$$

$$y = \frac{1}{2}k^2(1 - \cos \theta) \quad (31)$$

ซึ่งคำตอบที่ได้เป็นสมการพารามิตริกของไซคลอยด์

สมบัติราชสีห์โกรนของไซคลอยด์เป็นจริงไม่ว่าจุดศูนย์กลางจะเคลื่อนที่จะอยู่ที่ใดแห่งนั่น ซึ่งเห็นได้จากการพิสูจน์สมบัติราชสีห์โกรนของไซคลอยด์ด้วยแคลคูลัสของการ微積分 แต่การพิสูจน์สมบัติราชสีห์โกรนด้วยหลักของเฟਰ์ม่าต้องทำให้เข้าใจผิดได้ว่าจุดปลายของการเคลื่อนที่อยู่ที่จุดต่ำสุดของไซคลอยด์ ประกอบกับอุปกรณ์ที่ใช้แสดงสมบัติราชสีห์โกรน ของไซคลอยด์ส่วนใหญ่สนับสนุนความเข้าใจผิดนี้โดยเพียงแต่บ่งชี้ไปยังจุดต่ำสุดของไซคลอยด์เท่านั้น (Dale T. Hoffman; A Cycloid Race) กล่าวคือ อุปกรณ์เหล่านี้ใช้สาธิตว่าทรงกลมที่เคลื่อนตามเส้นทางไซคลอยด์จะเดินทางกลับไปที่เดิมกันทุกประการซึ่งกลับไปตามเส้นทางตรงไปยังจุดต่ำสุดของไซคลอยด์

การศึกษาระดับนี้จึงแสดงการบ่งชี้ไปยังจุดอื่น ๆ ตามไซคลอยด์ที่ไม่ใช่จุดต่ำสุด เพื่อยืนยันสมบัติราชสีห์โกรนของไซคลอยด์และแก้ความเข้าใจผิดนี้

## 2.5 ค่าท้องถิ่นของค่าความเร่งเนื่องจากแรงโน้มถ่วงของโลก

ค่าความเร่งเนื่องจากแรงโน้มถ่วงของโลกในแต่ละพื้นที่หรือค่าท้องถิ่นของค่าความเร่งเนื่องจากแรงโน้มถ่วงของโลกมีค่าไม่เท่ากัน โดยเปลี่ยนแปลงไปตามตำแหน่งที่ตั้ง (เส้นรูปและเส้นวง) ความสูงหนึ่งเมตรดับหนึ่งเมตร ของพื้นที่นั้น

หน่วยวัดของความเร่งเนื่องจากแรงโน้มถ่วงของโลกหรือค่า  $g$  นักจากวัดเป็น  $m/s^2$  แล้วยังวัดเป็น มิลลิแกล (milligals) และหน่วยความโน้มถ่วง (gravity unit) หรือ จี.ยู. ( $gu$ ) โดย  $1mGal = 0.00001 m/s^2$  และ  $10 gu = 1 mgal$

การวัดค่าท้องถิ่นของความเร่งเนื่องจากแรงโน้มถ่วงของโลก (Local Gravity) ของแต่ละประเทศ ปกติจะใช้ IGSN71 Gravity National Base Station เป็นจุดอ้างอิง (Reference Point) โดยอยู่ภายใต้ การกำกับดูแลของ the Bureau Gravimetrique International (BGI) ซึ่งเป็นหน่วยงานของประเทศ ฝรั่งเศส เมื่อปี พ.ศ. 2514 The International Gravity Standardization Net (IGSN71) ได้ทำการวัดค่า ความเร่งเนื่องจากแรงโน้มถ่วง ของโลกในทุกประเทศทั่วโลก และประเทศไทยได้เข้าร่วมทำการวัด ด้วยหลายพิกัด แต่ที่ยังใช้การได้อยู่ (active) มีเพียง 2 จุด คือ

(1) Station 06230 A บริเวณกรมแผนที่ทหาร กระทรวงกลาโหม โดยวัดค่า  $g$  ได้

$$978300.07 \pm 0.032 \text{ mGal} \text{ หรือ } 9.7830007 \pm 0.032 \text{ m/s}^2$$

(2) Station 06230 P บริเวณการท่าเรือแห่งประเทศไทย คลองเตย โดยวัดค่า  $g$  ได้

$$978300.55 \pm 0.035 \text{ mGal} \text{ หรือ } 9.7830055 \pm 0.035 \text{ m/s}^2$$

ในปี พ.ศ. 2529 บริษัทการบินไทยฯ ได้ขออนุมัติให้กรมแผนที่ทหาร กระทรวงกลาโหม ทำการวัด ค่า  $g$  บริเวณห้องปฏิบัติการสอนเที่ยบของฝ่ายช่าง โดยการโยงค่ามาตรฐานจาก Station 06230A และ ต่อมาในปี พ.ศ. 2542 บริษัทการบินไทยฯ ได้วางจ้างสถาบัน British Geological Survey (BGS) แห่งประเทศไทยอังกฤษ (สถาบัน BGS เป็นสถาบันที่ได้รับการยอมรับว่ามีความสามารถในการวัดค่า  $g$  จากสถาบันมาตรฐานทางชาติ National Physical Laboratory แห่งประเทศไทยอังกฤษ) ทำการวัดค่า  $g$  โดยการโยงค่ามาตรฐานจาก Station 06230 A ของกรมแผนที่ทหาร และ Station 220 (UK BPGN93) ของประเทศไทยอังกฤษ เพื่อยืนยันค่าอีกครั้งหนึ่ง ผลการวัดค่า  $g$  บริเวณห้องปฏิบัติการสอนเที่ยบของ ฝ่ายช่างจากห้องสอนสถาบันมีดังนี้

ปี พ.ศ. 2529 กรมแผนที่ทหารวัดค่า  $g$  ได้ 978312.96 mgal หรือ 9.7831296 mgal เมื่อโยงจาก Station 06230A)

ปี พ.ศ. 2542 สถาบัน BGS วัดค่า  $g$  ได้ 978313.44 mgal  $\pm$  0.05 mgals หรือ 9.7831344 m/s<sup>2</sup> เมื่อโยงจาก Station 06230A)

$$\text{และวัดค่า } g \text{ ได้ } 978313.65 \text{ mgal } \pm 0.3 \text{ mgals} \text{ หรือ } 9.7831365 \text{ m/s}^2$$

เมื่อโยงจาก Station BPGN 93 # 220 )

ค่าท้องถิ่นของค่าความเร่งเนื่องจากแรงโน้มถ่วงของโลกที่วัดโดยกรมแผนที่ทหารเป็นที่ ยอมรับได้ เมื่อเทียบกับผลการวัดของสถาบัน BGS

ค่า  $g$  ที่ได้จากการคำนวณโดยใช้ตัวแปรสำคัญที่เกี่ยวข้องมาคำนวณด้วย เช่น แนวเหนือ-ใต้ ตำแหน่งที่ตั้ง (เส้นรุ้ง เส้นแบ่ง) ความสูงเหนือระดับน้ำทะเล การหมุนของโลก เป็นวิธีหนึ่งที่ยอมรับ เป็นสากล โดยสถาบัน BGS ชี้แจงว่าการหาค่า  $g$  จากการคำนวณโดยใช้ตัวแปรสำคัญที่เกี่ยวข้องมา

คำนวณด้วยสามารถกระทำได้ เพียงแต่ความคลาดเคลื่อนและความไม่แน่นอน (Error and Uncertainty) ของผลที่ได้จะมีค่ามากกว่าการ โยงจาก National Base Station ถึง 30-50 ส่วนในส่วนล่าง ในทางทฤษฎี ค่า g จะเปลี่ยนแปลงประมาณ 0.004 g/m ต่อระยะทาง 10 เมตร ในแนวเหนือ-ใต้ และ 0.03086 g/m ต่อความสูง 1 เมตร



ACM 681.112 ส242ก 2553 อ.1

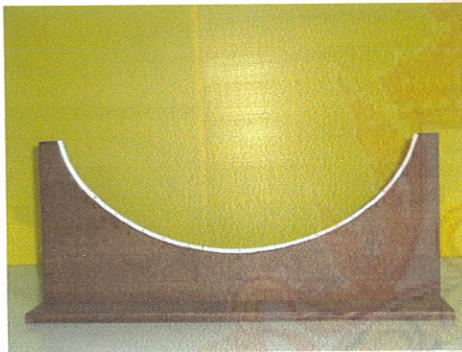
สุจิตต์ ศรีชัย  
การพัฒนาการทดลองเรื่องการแก้  
งของลูกดัมนาพิกา : รายงาน  
32000001006610 1339

### บทที่ 3

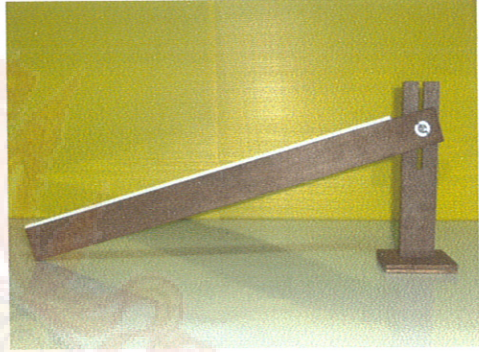
#### เนื้อหาการวิจัย

##### 3.1 อุปกรณ์และวิธีการดำเนินการวิจัย

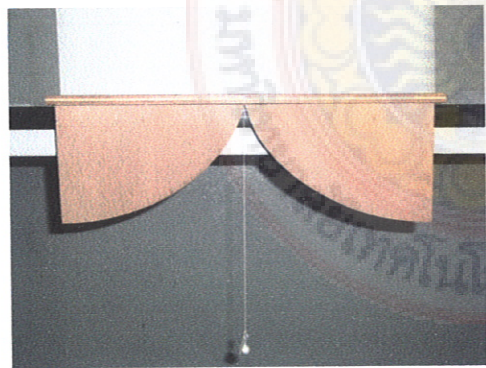
3.1.1 อุปกรณ์ที่ใช้ในการทดลอง ประกอบด้วยร่างไซคลอยด์ ร่างทรงปรับความเอียงได้ แบบจำลองชอยเกนส์ เพนคูลัม โฟโตเกต ดังภาพที่ 3.1 ชุดอุปกรณ์ข้างเวลา (วงจรควบคุมนาฬิกาจับเวลาและนาฬิกาจับเวลา) สายโทรศัพท์ ลูกศุ่ม โลหะขนาดเส้นผ่านศูนย์กลาง 1.5 cm และลูกศุ่ม โลหะขนาดเส้นผ่านศูนย์กลาง 1.2 cm. ที่มีห่วงสำหรับผูกเชือก ดังภาพที่ 3.2



ร่างไซคลอยด์



ร่างทรงปรับความเอียงได้

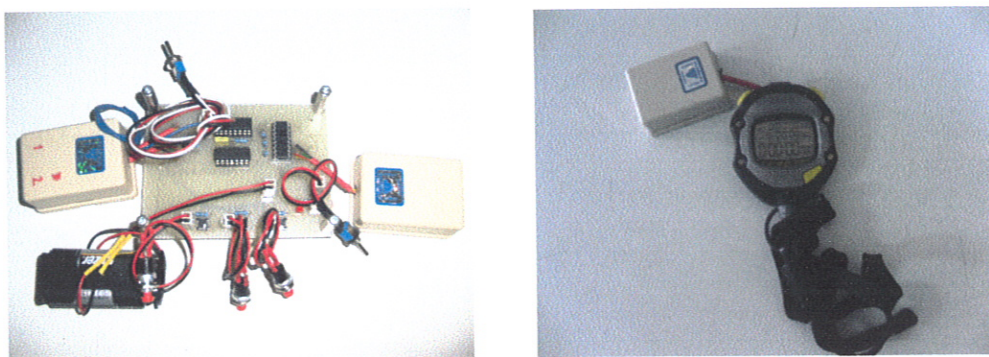


แบบจำลองชอยเกนส์ เพนคูลัม



โฟโตเกต

ภาพที่ 3.1 อุปกรณ์ที่ใช้ในการทดลอง



วงจรควบคุมนาฬิกาจับเวลา

นาฬิกาจับเวลา



สายไทร์คัพท์

ลูกตุ้มโลหะ

ภาพที่ 3.2 อุปกรณ์ที่ใช้ในการทดลอง (ต่อ)

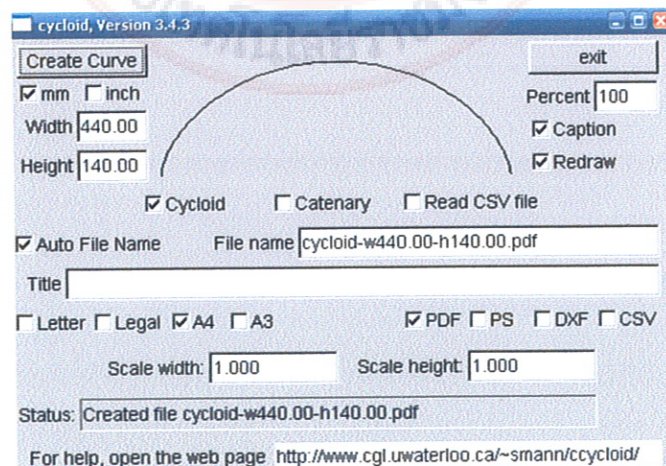
### 3.1.2 วิธีการดำเนินการวิจัย

#### 3.1.2.1 การสร้างร่างไซคลอยด์ ร่างทรงปรับความเอียงได้ และแบบจำลองของเกนส์

เพนดูลัม

##### ขั้นตอนในการสร้างร่างไซคลอยด์

- (1) ใช้โปรแกรม Cycloid, Version 3.4.3 ดังภาพที่ 3.3 โดยกำหนดความกว้างและความสูงเป็น 44 cm และ 14 cm ตามลำดับแล้วพิมพ์ลงในกระดาษ A4 ส่องแฝ่น แผ่นหนึ่งจะเป็นภาพครึ่งซ้ายของไซคลอยด์ อีกแผ่นหนึ่งจะเป็นภาพครึ่งขวาของไซคลอยด์



ภาพที่ 3.3 โปรแกรมที่ใช้เขียนเส้นโค้งไซคลอยด์

(2) นำร่องโถ่ไฟชุดอยู่ในกระดาษทึ้งสองแผ่นมาประกบกันเส้นโถ่ไฟชุดอยู่ด้เต็มโถ่ และใช้เทปไปปิดทับตรงรอยต่อระหว่างกระดาษทึ้งสองแผ่น จากนั้นนำไปติดบนไม้อัดขนาดกว้าง 20 cm. ยาว 50 cm. หนา 1 cm. ด้วยกระดาษขาว 2 หน้า ชนิดบาง โดยจัดให้จุดกึ่งกลางของเส้นโถ่ไฟชุดอยู่ที่กึ่งกลางไม้อัดและจุดปลายทึ้งสองของเส้นโถ่ไฟชุดอยู่ที่ขอบบนของแผ่นไม้อัดแล้วปิดทับด้วยแผ่นสติกเกอร์ใส

(3) ใช้เลือบฉลุไฟฟ้าตัดไม้อัดไปตามเส้นโถ่ไฟชุดด้วยกระดาษ หลังการตัดแผ่นไม้อัดมีลักษณะดังภาพที่ 3.4 และใช้กระดาษทรายขัดร้อยตัดให้เรียบ



ภาพที่ 3.4 ลักษณะของแผ่นไม้อัดจากตัดออกเป็นเส้นโถ่ไฟชุดอยู่ด้

(4) นำร่องครอบสายไฟบนขนาดกว้าง 6.5 mm และสูง 0.35 cm มาวางทับไปตามทางโถ่ไฟชุดอยู่บนไม้อัดแล้วตัดส่วนที่ยาวเกินออก จากนั้นนำไปยึดติดกับทางโถ่ไฟชุดอยู่บนไม้อัดด้วยกระดาษขาว 2 หน้า ชนิดบาง ดำเนินการให้ร่องครอบสายไฟไม่แนบติดกับไม้อัดให้ใช้ตะปูตัวเล็ก ๆ ตอกยึดไว้

(5) แบ่งสเกลความสูงบนร่างไฟชุดอยู่โดยขีดเส้นตรงแนวราบผ่านจุดต่ำสุดของร่างไฟชุดอยู่เพื่อใช้เป็นระดับอ้างอิง จากนั้นทำเครื่องหมายตำแหน่งความสูงจากเส้นอ้างอิงนี้ของจุดบนร่างไฟชุดอยู่ทุก ๆ ความสูง 1 cm

(6) ตัดไม้อัดหนา 1 cm เป็นสี่เหลี่ยมผืนผ้าขนาดกว้าง 14 cm ยาว 50 cm เพื่อใช้เป็นฐานวางร่างไฟชุดอยู่

(7) ใช้ตะปูตอกยึดแผ่นฐานเข้ากับร่างไฟชุดอยู่ เมื่อประกอบเสร็จแล้วจะมีลักษณะดังภาพที่ 3.5

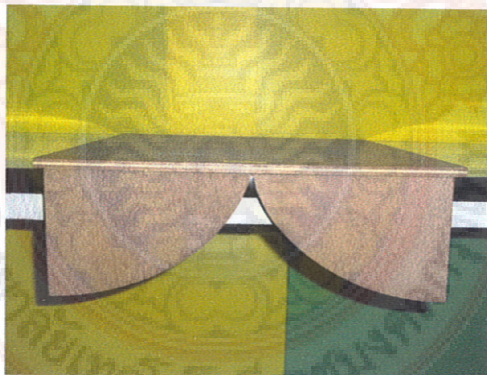
### ขั้นตอนการสร้างแบบจำลองหอยเก็นส์ เพนดูลัม

- (1) ตัดไม้อัดหนา 1 cm เป็นแผ่นขนาดกว้าง 44 cm ยาว 50 cm แล้วเจาะรูสำหรับร้อยด้าย โดยจะต้องกึ่งกลางของด้านกว้างและห่างจากขอบแผ่นไป 0.5 cm
- (2) นำแผ่นไม้อัดส่วนที่ตัดออกมาในการสร้างรูปโค้งใช้คลอยด์ มาตัดแบ่งครึ่งตามแนวความสูง ดังภาพที่ 3.7



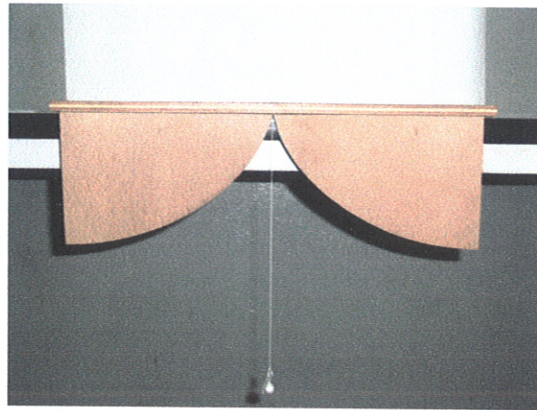
ภาพที่ 3.7 การตัดแบ่งครึ่งแผ่นไม้รูปโค้งใช้คลอยด์

- (3) ใช้ตะปุ่ตอกยีดแผ่นไม้รูปครึ่งโค้งใช้คลอยด์ทั้งสองชิ้นกับแผ่นไม้อัดทางปลายด้านที่เจาะรู โดยหันด้านโค้งเข้าหากัน ดังภาพที่ 3.8



ภาพที่ 3.8 การประกอบแผ่นไม้รูปครึ่งโค้งใช้คลอยด์เข้ากับแผ่นไม้อัด

- (4) ร้อยเชือกที่ผูกติดกับลูกศุ่มผ่านรูที่เจาะไว้ ดังภาพที่ 3.9



ภาพที่ 3.9 แบบจำลองชอยเกนส์ เพนดูลัมที่สร้างเสร็จแล้ว

### 3.1.2.2 การสร้างชุดอุปกรณ์จับเวลา

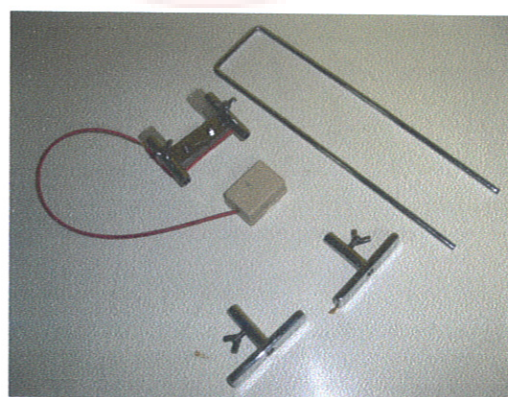
ชุดอุปกรณ์จับเวลาประกอบด้วย โฟโตเกต (Photogate) วงจรควบคุมนาฬิกาจับเวลา (Stopwatch Control Circuit) และนาฬิกาจับเวลา 1 ใน 1,000 วินาที (1/1000 Second Stopwatch) ในการสร้างชุดอุปกรณ์จับเวลา ได้สร้าง โฟโตเกตและวงจรควบคุมนาฬิกาจับเวลา ส่วนนาฬิกาจับเวลา ซึ่งมาแล้วนำมาต่อเข้ากับวงจรควบคุมนาฬิกาจับเวลา

โฟโตเกต ทำหน้าที่เป็นตัวตรวจจับทางแสง โฟโตเกตจะทำงานเมื่อมีวัตถุเคลื่อนผ่านแนวอินฟราเรด โดยส่งสัญญาณไปยังภาคควบคุม แต่ถ้าไม่มีวัตถุเคลื่อนที่ผ่านแนวอินฟราเรด โฟโตเกตจะไม่ทำงาน (ไม่มีสัญญาณส่งไปที่ภาคควบคุม)

โฟโตเกตประกอบด้วยอินฟราเรด ไดโอด (IR\_TX1 และ IR\_RX2) และ โฟโตทรานซิสเตอร์ (IR\_RX1 และ IR\_RX2) โดยอินฟราเรด ไดโอดทำหน้าที่สร้างแสงอินฟราเรด เพื่อใช้ในการตรวจจับ ส่วน โฟโตทรานซิสเตอร์ ทำหน้าที่ตรวจจับแสงที่มาต่อกัน ถ้าไม่มีแสง มาต่อกันจะมีความต้านทานภายในสูง ส่งผลให้แรงดันไฟฟ้าตกคร่อมน้อย ในทางกลับกันเมื่อมีแสงมาต่อกันจะทำให้ความต้านทานภายในลดลง ส่งผลให้มีแรงดันไฟฟ้าตกคร่อมมากขึ้น

#### ขั้นตอนการสร้างโฟโตเกต

- (1) สร้างชิ้นส่วนต่าง ๆ ที่เป็นส่วนประกอบของ โฟโตเกต ดังภาพที่ 3.10



ภาพที่ 3.10 ส่วนประกอบต่าง ๆ ของโฟโตเกต

- (2) ติดตั้งไฟโตทรานซิสเตอร์และอินฟราเรด ໄດ້ໂອດກາຍໃນໄຟໂໂຕເກຕ
- (3) ເຊື່ອມຕ່ອສາຍສັບຢານຈາກໄຟໂໂຕເກຕເຂົ້າກັບກລ່ອງຕ່ອສາຍໂທຣັກພ໌
- (4) ປະກອບຫື່ນສ່ວນຕ່າງ ໃາ ເຂົ້າຄ້ວຍກັນ ດັ່ງກາພທີ 3.11



ກາພທີ 3.11 ໄຟໂໂຕເກຕທີ່ສ້າງແສ້ງແລ້ວ

ວຈරគົນຄຸນນາພິກາຈັບເວລາ ທຳນັ້ນທີ່ຄວນຄຸນການທຳງານຂອງນາພິກາຈັບເວລາ ໂດຍຄວນຄຸນໄດ້ 2 ວີ້ ຄື່ອ ຄວນຄຸນ ໂດຍຕຽງຈາກວຈරគົນຄຸນ ແລະ ຄວນຄຸນ ໂດຍຜ່ານໄຟໂໂຕເກຕ

ກາຮຄວນຄຸນໂດຍຕຽງຈາກວຈරគົນຄຸນເປັນກາຮຄວນຄຸນຜ່ານສວິຕີໜີ 3 ຕ້າ ບນວຈຮ ຄື່ອ

- START/STOP (ຕໍາແໜ່ນໆຈ່າວ) ເປັນສວິຕີໜີຄວນຄຸນການເຮັ່ນຕົ້ນການຈັບເວລາແລະກາຮໝູດຈັບເວລາ  
ຂອງນາພິກາຈັບເວລາ

- RESET (ຕໍາແໜ່ນໆກລາງ) ເປັນສວິຕີໜີຄວນຄຸນການເຮັ່ນຕົ້ນການຈັບເວລາໃໝ່

- CLEAR (ຕໍາແໜ່ນໆໜ້າຍ) ເປັນສວິຕີໜີລ້າງໜ້າຈອແລະເຮັ່ນການທຳງານຂອງນາພິກາຈັບເວລາໃໝ່

ທັງໝາດ

ກາຮຄວນຄຸນໂດຍຜ່ານໄຟໂໂຕເກຕ ເປັນການທຳງານຕາມທີ່ຜູ້ໃຊ້ກໍາໜັດຜ່ານສວິຕີໜີ MODE ຜຶ່ງນີ້ 2 ໂໂມດ ຄື່ອ

- TWO GATES ໃນໂໂມດການທຳງານນີ້ຈະໃຊ້ໄຟໂໂຕເກຕ 2 ຕ້າມາຕ່ອໄວ້ທີ່ຈຸດເຮັ່ນຕົ້ນແລະຈຸດສິ້ນສຸດ  
ເມື່ອວັດຖຸຜ່ານຈຸດເຮັ່ນຕົ້ນ ວຈරគົນຄຸນຈະກະຕຸ້ນໃຫ້ນາພິກາຈັບເວລາເຮັ່ນທຳງານ ແລະເມື່ອວັດຖຸຜ່ານໄຟໂໂຕເກຕ  
ທີ່ຕໍາແໜ່ນໆສິ້ນສຸດ ວຈරគົນຄຸນຈະກະຕຸ້ນໃຫ້ນາພິກາຈັບເວລາຫຼຸດທຳງານ

- PENDULUM ໃນໂໂມດນີ້ຈະໃຊ້ໄຟໂໂຕເກຕ 1 ຕ້າ ຕັ້ງໄວ້ໃນຕໍາແໜ່ນໆສູງສຸດຫຼືອຕໍາສຸດຂອງແນວ  
ກາຮເຄລື່ອນທີ່ທັງນີ້ຂຶ້ນອູ້ກັບການທົດລອງ ໂດຍເມື່ອວັດຖຸຜ່ານໄຟໂໂຕເກຕຄັ້ງແຮກງຈາຮຄວນຄຸນຈະກະຕຸ້ນໄທ້

นาฬิกาจับเวลาเริ่มจับเวลาและเมื่อวัดถูกผ่าน โฟโตเกตครึ่งที่สาม วงจรควบคุมจะกระตุ้นให้นาฬิกาจับเวลาหยุดจับเวลา

วงจรควบคุมนาฬิกาจับเวลาประกอบด้วย R1 ถึง R13, C1, LED1, SW1 ถึง SW3, IC1A ถึง IC1D, IC2 และ IC3 โดยอุปกรณ์แต่ละตัวมีหน้าที่ดังนี้

R1 และ R2 เป็นตัวต้านทานจำกัดกระแสให้กับอินฟราเรดไดโอด (IR\_TX1 และ IR\_TX2)

R3 และ R4 เป็นตัวต้านทานจำกัดกระแสให้กับโฟโตทรานซิสเตอร์ (IR\_RX1 และ IR\_RX2)

R5 และ C1 เป็นวงจรดิฟเฟอเรนเชียลทำหน้าที่สร้างพัลส์แคบจากการเก็บประจุและ decay ตามค่าคงตัวเวลา (Time Constant;  $\tau$ ) ซึ่งคำนวณได้จาก

$$\tau = R \times C = 1 \text{ M}\Omega \times 100 \text{ nF} = 1 \times 10^{-1} \text{ s} = 100 \text{ ms}$$

จากค่าคงตัวเวลาที่ได้แสดงว่า วงจรควบคุมนาฬิกาจับเวลา นี้ มีสมรรถนะในการจับเวลาที่ใช้เวลามากกว่า 100 ms ขึ้นไป เนื่องจากถ้าใช้เวลาอย่างกว่านี้จะไม่เกิดการกระตุ้นสัญญาณจากภาคควบคุม

R6, R7 และ R8 เป็นตัวต้านทานที่ต่อแบบพุลดาวน์กับสวิตช์ SW1, SW2 และ SW3

ตามลำดับ ถ้ากดสวิตช์จะทำให้มีแรงดันตกคร่อมตัวต้านทาน ถ้าไม่กดสวิตช์จะไม่มีแรงดันตกคร่อมตัวต้านทาน

R9, R10, R11 และ R12 เป็นตัวต้านทานจำกัดกระแสของ LED ภายใน IC3

R13 เป็นตัวต้านทานจำกัดกระแส LED1

IC1A ทำหน้าที่เป็นวงจรขนาดสัญญาณจากโฟโตเกตเพื่อส่งสัญญาณไปยังขา CLK ของ IC2

IC1B ทำหน้าที่เป็นวงจรขนาดสัญญาณจากสวิตช์ RESET และ CLEAR เพื่อไปตั้งค่าการทำงานใหม่ที่ขา CLR ของ IC2

IC1C ทำหน้าที่เป็นวงจรขนาดสัญญาณจากสวิตช์ START/STOP กับเอกสาร์พุตที่ได้จาก IC1D เพื่อไปกระตุ้นการจับเวลาและหยุดจับเวลาของนาฬิกาจับเวลา

IC1D ทำหน้าที่เป็นวงจรขนาดสัญญาณจากเอกสาร์พุต Q1 กับเอกสาร์พุต Q2 หรือ Q3 เพื่อไปควบคุมการทำงานของนาฬิกาจับเวลาร่วมกันกับ IC1C

IC2 เป็นวงจรนับสิบซึ่งในวงจรนี้ทำหน้าที่เป็นตัวรับสัญญาณจากสวิตช์หรือโฟโตเกตเพื่อไปควบคุมการทำงานของนาฬิกาจับเวลา

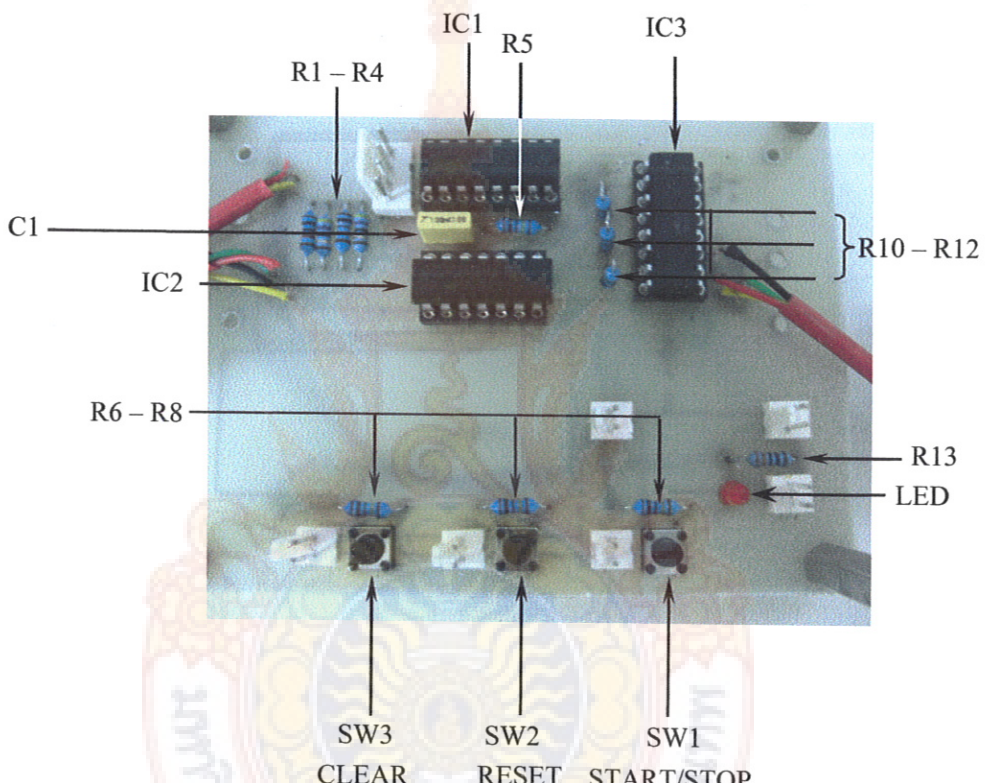
IC3 เป็นอุปกรณ์เชื่อมโยงทางแสง (Optocoupler) ทำหน้าที่เป็นอุปกรณ์เชื่อมต่อระหว่างวงจรควบคุมกับนาฬิกาจับเวลาโดยไม่มีส่วนประกอบที่เชื่อมต่อกันทางไฟฟ้า เนื่องจากใช้แรงดันในการทำงานแตกต่างกัน

SW1 เป็นสวิตช์ START/STOP ใช้เพื่อเริ่มและหยุดการจับเวลาของนาฬิกาจับเวลา

SW2 เป็นสวิตช์ RESET ทำหน้าที่ล้างค่าการนับของนาฬิกาจับเวลาใหม่

SW3 เป็นสวิตช์ CLEAR ทำหน้าที่ล้างหน้างอและเริ่มการทำงานของนาฬิกาจับเวลาใหม่

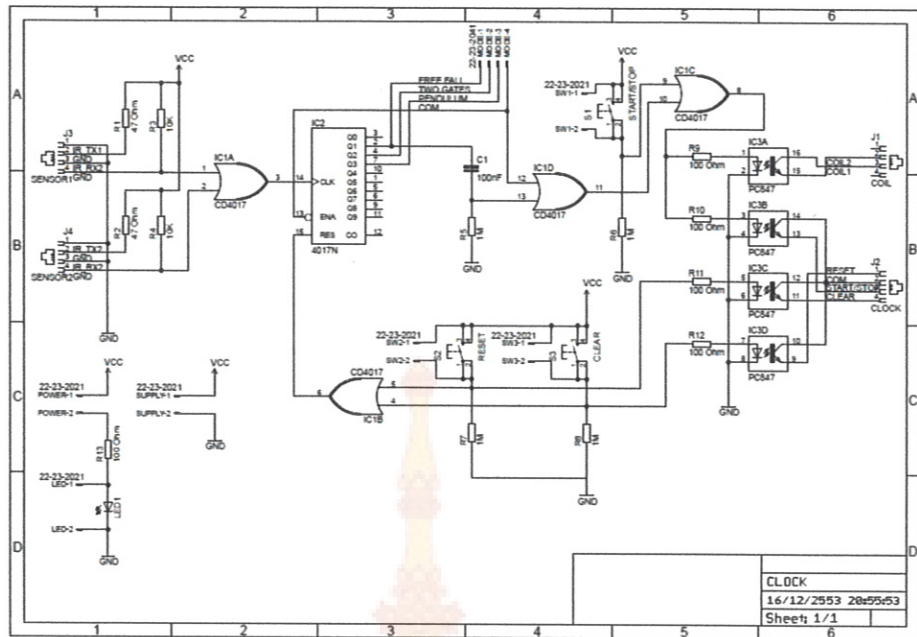
ตำแหน่งของอุปกรณ์ต่าง ๆ บนแผงวงจรควบคุมนาฬิกาจับเวลาพิจารณาได้จากการพิพากษาที่ 3.12



ภาพที่ 3.12 ตำแหน่งของอุปกรณ์ต่าง ๆ บนแผงวงจรควบคุมนาฬิกาจับเวลา

### ขั้นตอนการสร้างวงจรควบคุมนาฬิกาจับเวลา

- (1) ออกแบบลายวงจรด้วยโปรแกรมออกแบบวงจร ดังภาพที่ 3.13



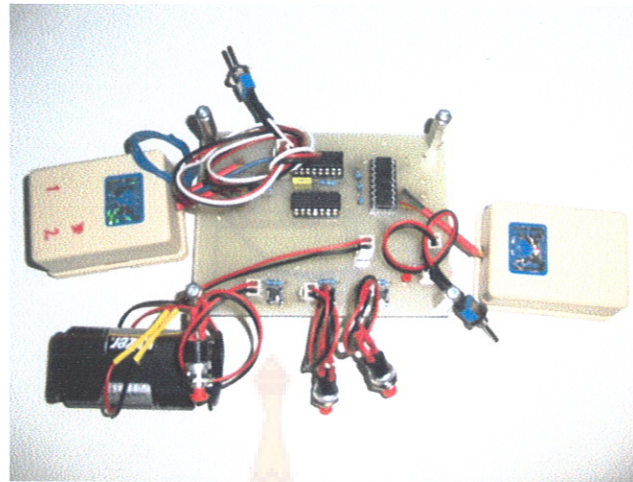
ภาพที่ 3.13 ลักษณะของวงจรควบคุมนาฬิกาจับเวลา

- (2) ออกแบบลายวงจรพิมพ์ด้วยโปรแกรมออกแบบลายวงจรพิมพ์
- (3) พลิตแพ่นวงจรพิมพ์ตามที่ได้ออกแบบไว้
- (4) ติดตั้งและบัดกรีอุปกรณ์บนแพ่นวงจรพิมพ์ ดังภาพที่ 3.14



ภาพที่ 3.14 การติดตั้งอุปกรณ์บนแพ่นวงจรพิมพ์

- (5) ต่อสวิตซ์และขัวต่อเข้ากับบุคเขื่อมต่อ ดังภาพที่ 3.15



ภาพที่ 3.15 วงจรควบคุมนาฬิกาจับเวลาที่สร้างเสร็จแล้ว

#### การต่อนาฬิกาจับเวลาเข้ากับวงจรควบคุมนาฬิกาจับเวลา

(1) ต่อสายสัญญาณควบคุมจากนาฬิกาจับเวลา 4 เส้น ดังนี้

- COM เป็นสายสัญญาณร่วมที่ใช้ในการส่งสัญญาณไปควบคุมส่วนต่างๆ ของนาฬิกา

จับเวลา

- START/STOP เป็นสายสัญญาณควบคุมการจับเวลาและการหยุดจับเวลาของนาฬิกา

จับเวลา

- RESET เป็นสายสัญญาณควบคุมการเริ่มการจับเวลาใหม่ของนาฬิกาจับเวลา

- CLEAR เป็นสายสัญญาณควบคุมการล้างหน้าจอและเริ่มต้นการทำงานใหม่ของนาฬิกา

จับเวลา

(2) ต่อปลายสายสัญญาณควบคุมทั้ง 4 เส้น เข้ากับกล่องต่อสายโทรศัพท์ ดังภาพที่ 3.16

เพื่อเชื่อมต่อเข้ากับวงจรควบคุมนาฬิกาจับเวลา



ภาพที่ 3.16 การต่อสายสัญญาณควบคุมเข้ากับกล่องต่อสายโทรศัพท์

เมื่อนำไฟโตเกต วงจรควบคุมนาฬิกาจับเวลาและนาฬิกาจับเวลามาประกอบเข้าด้วยกัน ดังภาพที่ 3.17 จะได้ชุดอุปกรณ์จับเวลาที่พร้อมใช้งาน



ภาพที่ 3.17 ชุดอุปกรณ์จับเวลา

### 3.1.2.3 การทดลองเพื่อยืนยันสมบัติทดสอบโดยอุปกรณ์การทดลอง

1. รางไชคลอยด์ 1 อัน
2. ไฟโตเกตแบบตัว U ค่าว่า 2 ตัว
3. ชุดอุปกรณ์จับเวลา 1 ชุด
4. ลูกตุ้มขนาดเส้นผ่านศูนย์กลาง 1.5 cm 1 ลูก

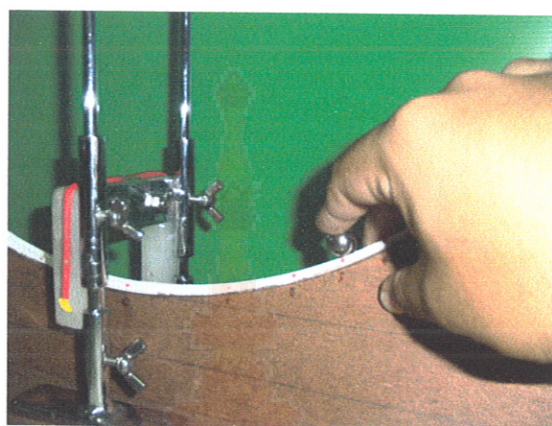
#### วิธีการทดลอง

1. จัดอุปกรณ์การทดลอง ดังภาพที่ 3.18



ภาพที่ 3.18 การจัดอุปกรณ์การทดลองเพื่อยืนยันสมบัติทดสอบโดยอุปกรณ์

2. ปรับความสูงของไฟโตเกตให้ตำแหน่งกึ่งกลางของช่องรับแสงของไฟโตเกต ตรงกับตำแหน่งกึ่งกลางของลูกเหล็กที่วางไว้ที่ตัวสูดของราง
3. วางลูกตุ้มไว้ที่ความสูง 2 cm จากตำแหน่งตัวสูดของราง ใช้คลอยด์ ดังภาพที่ 3.19



ภาพที่ 3.19 การวางลูกตุ้มนรางใช้คลอยด์ในการทดลองเพื่อยืนยัน  
สมบัติของไฟโตโกรนของใช้คลอยด์

4. สับสวิตซ์ POWER สับสวิตซ์ MODE ไปที่ PENDULUM และกดสวิตซ์ CLEAR บนวงจรควบคุมนาฬิกา 1 ครั้ง สังเกตว่าหน้าจอนาฬิกาจับเวลาจะดับไปชั่วครู่แล้วจะแสดงผลขึ้นมาใหม่ ถ้าเป็นเช่นนี้แสดงว่านาฬิกาจับเวลาพร้อมทำงาน ถ้าไม่เป็นไปตามนี้ให้ตรวจสอบการเชื่อมต่อสายและความสูงไฟโตเกตอีกครั้งแล้วทำขั้นตอนนี้ใหม่

5. ปล่อยลูกตุ้มและจับเวลา สังเกตว่าเมื่อลูกตุ้มผ่านไฟโตเกตครั้งที่หนึ่ง จะได้ยินเสียงสัญญาณและนาฬิกาจับเวลาจะเริ่มจับเวลา ถ้าไม่เป็นไปตามนี้แสดงว่าตั้งความสูงของช่องรับแสงของไฟโตเกตสูงเกินไป ให้ปรับความสูงใหม่และทำตามขั้นตอนที่ 3 และ 4 อีกครั้ง

6. เมื่อลูกตุ้มผ่านไฟโตเกตทุกสามครั้ง นาฬิกาจับเวลาจะหยุดจับเวลาให้บันทึกผลและกดสวิตซ์ RESET เพื่อเริ่มจับเวลาใหม่ ทำเช่นนี้จนจับเวลาได้ครบ 5 ครั้ง แล้วนำมาหาค่าเฉลี่ยโดยที่ตำแหน่งความสูงค่าหนึ่ง ๆ ให้ทดลองซ้ำ 10 ครั้ง

7. ทำซ้ำตามขั้นตอนที่ 3 ถึงขั้นตอนที่ 6 โดยเปลี่ยนความสูงเป็น 4 cm , 6 cm, 8 cm, 10 cm และ 12 cm ตามลำดับ

### 3.1.2.4 การทดลองเพื่อเปรียบเทียบความของการแกะง้แบบชิมเปิด เพนดูลัม กับ ไซคลอยดัล เพนดูลัม ที่มีความยาวเชือกเท่ากัน

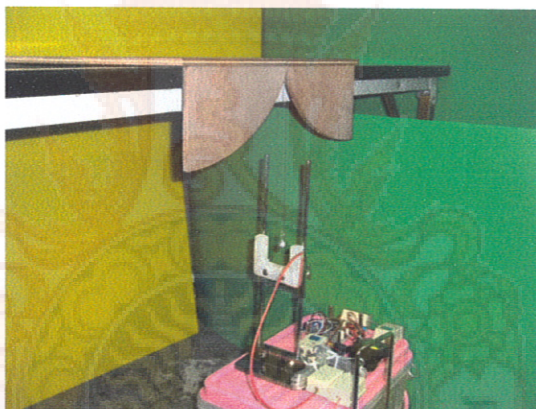
#### อุปกรณ์ที่ใช้ในการทดลอง

1. ไฟโตเกตруปตัวยูหงาย 1 ตัว
2. ไฟโตเกตชนิดตัวยูกว่า 1 ตัว
3. ชุดอุปกรณ์จับเวลา 1 ชุด
4. แบบจำลองชอยเกนส์ เพนดูลัม 1 ชุด (เชือกที่ผูกลูกศุ่มยาว 28 cm)
5. ชุดทดลองชิมเปิด เพนดูลัม 1 ชุด (เชือกที่ผูกลูกศุ่มยาว 28 cm)

#### วิธีทดลอง

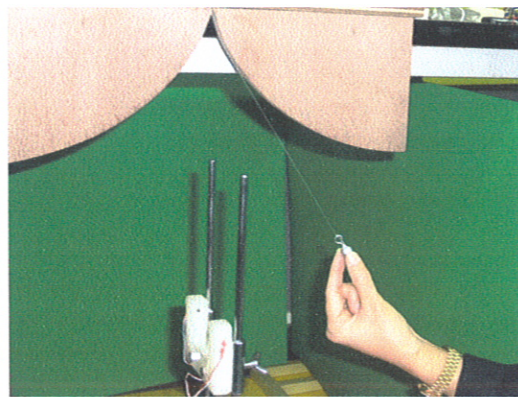
##### การหาความของการแกะง้แบบไซคลอยดัล เพนดูลัม

1. จัดอุปกรณ์การทดลองดังภาพที่ 3.20



ภาพที่ 3.20 การจัดอุปกรณ์การทดลองเพื่อวัดความของการแกะง้แบบไซคลอยดัล เพนดูลัม

2. ปรับความสูงของไฟโตเกตให้ตำแหน่งกึ่งกลางของช่องรับแสงของไฟโตเกต อยู่ตรงกับตำแหน่งกึ่งกลางของลูกศุ่ม
3. จับลูกศุ่มแล้วดึงให้เชือกผูกลูกศุ่มแนบไปตามครึ่งโค้งไซคลอยด์ด้านขวา จนถึงระดับที่อยู่ต่ำจากยอดแหลมของโค้ง 4 cm ดังภาพที่ 3.21



ภาพที่ 3.21 การดึงลูกตุ้มเพื่อให้เชือกผูกลูกตุ้มแนบไปตามครึ่งโถงใช้คลอยด์ก่อนปล่อยให้แกว่ง

4. สับสวิตช์ POWER สับสวิตช์ MODE ไปที่ PENDULUM และกดสวิตช์ CLEAR บนวงจรควบคุมนาฬิกา 1 ครั้ง สังเกตว่าหน้าจอนาฬิกาจับเวลาจะดับไปชั่วครู่แล้วจะแสดงผลขึ้นมาใหม่ ถ้าเป็นเช่นนี้แสดงว่านาฬิกาจับเวลาพร้อมทำงาน

5. ปล่อยลูกตุ้มและจับเวลา สังเกตว่าเมื่อลูกตุ้มผ่านไฟโตเกตครั้งแรก จะได้ยินเสียงสัญญาณและนาฬิกาจับเวลาจะเริ่มจับเวลา ถ้าไม่เป็นไปตามนี้แสดงว่าตั้งความสูงของช่องรับแสงของไฟโตเกตสูงหรือต่ำเกินไป ให้ปรับความสูงใหม่และทำตามขั้นตอนที่ 3 และ 4 อีกครั้ง

6. ทุกสามครั้งที่ลูกตุ้มผ่านไฟโตเกต นาฬิกาจับเวลาจะหยุดจับเวลา ให้บันทึกผลและกดสวิตช์ RESET เพื่อเริ่มจับเวลาใหม่ ทำเช่นนี้จนจับเวลาได้ครบ 10 ครั้งแล้วนำค่าที่ได้ไปหาค่าเฉลี่ย

7. ทำตามขั้นตอนที่ 3 ถึงขั้นตอนที่ 6 โดยเปลี่ยนความสูงของตำแหน่งปล่อยลูกตุ้มเป็น 5 cm, 6 cm, 7 cm, 8 cm, 9 cm, 10 cm, 11 cm, 12 cm และ 13 cm

#### การหาค่าของแรงต้านของการแกว่งแบบชิมเปล เพนคุลัม

1. จัดอุปกรณ์การทดลองดังภาพที่ 3.22



ภาพที่ 3.22 การจัดอุปกรณ์การทดลองเพื่อวัดค่าของแรงต้านของการแกว่งแบบชิมเปล เพนคุลัม

2. ปรับความสูงของไฟโตเกต โดยให้ตำแหน่งกึ่งกลางของช่องรับแสงของไฟโตเกตอยู่ตรงกับตำแหน่งกึ่งกลางของลูกศุ่น

3. จับลูกศุ่นแล้วดึงให้เชือกเอียงทำมุม 80 องศา กับแนวดิ่ง ดังภาพที่ 3.23



ภาพที่ 3.23 การดึงลูกศุ่นเพื่อให้เชือกเอียงทำมุมกับแนวดิ่งก่อนปล่อยให้แก่ง

4. สับสวิตช์ POWER สับสวิตช์ MODE ไปที่ PENDULUM และกดสวิตช์ CLEAR บันทางรควบคุมนาฬิกา 1 ครั้ง สังเกตว่าหน้าจอนาฬิกาจับเวลาจะดับไปชั่วครู่แล้วจะแสดงผลขึ้นมาใหม่ ถ้าเป็นเช่นนี้แสดงว่านาฬิกาจับเวลาพร้อมทำงาน

5. ทำการปล่อยลูกเหล็กและทำการจับเวลา สังเกตว่าเมื่อลูกเหล็กผ่านไฟโตเกต ครั้งแรก จะได้ยินเสียงสัญญาณและนาฬิกาจับเวลาจะเริ่มจับเวลา ถ้าไม่เป็นไปตามนี้แสดงว่าตั้งความสูงของช่องรับแสงของไฟโตเกตสูงหรือต่ำเกินไป ให้ปรับความสูงใหม่และทำการขึ้นตอนที่ 4 และ 5 อีกครั้ง

6. เมื่อลูกศุ่นเหล็กผ่านไฟโตเกตทุกสามครั้ง นาฬิกาจับเวลาจะหยุดจับเวลา บันทึกผลและกดสวิตช์ RESET เพื่อเริ่มจับเวลาใหม่ ทำการซ้ำนี้จนจับเวลาได้ครบ 10 ครั้ง แล้วนำค่าที่ได้ไปหาค่าเฉลี่ย

7. ทำการขึ้นตอนที่ 3 ถึงขั้นตอนที่ 7 โดยเปลี่ยนมุมในการปล่อยลูกศุ่นเป็น  $70^\circ, 60^\circ, 50^\circ, 40^\circ, 30^\circ, 20^\circ, 10^\circ, 5^\circ$  และ  $3^\circ$  ตามลำดับ

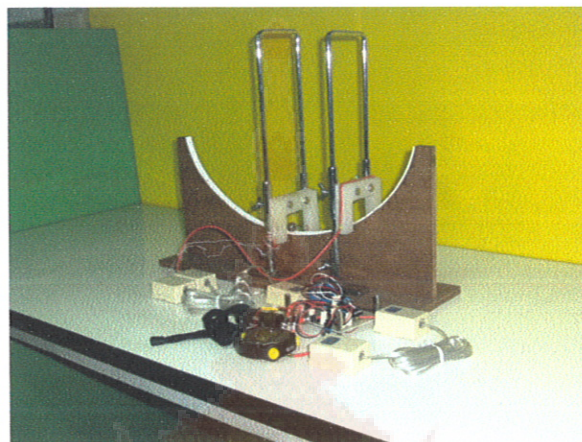
### 3.1.2.5 การทดลองเพื่อยืนยันสมบัติบรากิสโทโกรนของไชคลอยด์ อุปกรณ์ที่ใช้ในการทดลอง

1. รางไชคลอยด์ 1 อัน

2. แรงตึงปรับความเอียงได้ 1 อัน
3. ชุดอุปกรณ์จับเวลา 1 ชุด
4. ลูกศุ่มน้ำดเส้นผ่านศูนย์กลาง 1.5 cm 1 ลูก

#### วิธีทดลอง

1. จัดอุปกรณ์การทดลองดังภาพที่ 3.24



ภาพที่ 3.24 การจัดอุปกรณ์การทดลองเพื่อจับเวลาในการเคลื่อนที่  
ระหว่าง 2 ตำแหน่ง บนร่างไชคลอยด์

2. วางไฟโตเกตตัวแรกไว้ที่ตำแหน่งเริ่มต้นที่ระยะ 2 cm ทางด้านขวา และวางไฟโตเกตตัวที่ 2 ไว้ที่ตำแหน่งสุดท้ายที่ตำแหน่งต่อสุดของร่างไชคลอยด์ (0 cm)
3. ปรับความสูงของไฟโตเกตทั้งสองตัวให้ตำแหน่งรับแสงของไฟโตเกตตรงกับตำแหน่งกึ่งกลางของลูกศุ่น
4. วางลูกศุ่นไว้ที่ตำแหน่งเริ่มต้น (ที่ระยะสูง 2 cm ทางด้านขวา) โดยให้ลูกศุ่นอยู่ใกล้กับแนวของช่องรับแสงมากที่สุด ดังภาพที่ 3.25



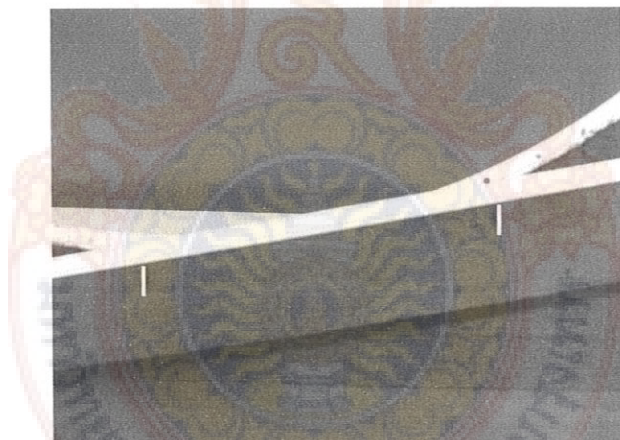
ภาพที่ 3.25 การวางลูกศุ่นที่ตำแหน่งเริ่มต้นในการทดลองเพื่อจับเวลา  
ในการเคลื่อนที่ระหว่าง 2 ตำแหน่ง บนร่างไชคลอยด์

5. สับสวิตช์ POWER สับสวิตช์ MODE ไปที่ TWO GATES และกดสวิตช์ CLEAR บันวงจรอุบคุณนาพิกา 1 ครั้ง สังเกตว่าหน้าจอนาพิกาจับเวลาจะดับไปชั่วครู่แล้วจะแสดงผลขึ้นมาใหม่ ถ้าเป็นเช่นนี้แสดงว่านาพิกาจับเวลาพร้อมทำงาน ถ้าไม่เป็นไปตามนี้ให้ตรวจสอบการเชื่อมต่อสายและความสูงไฟโตเกตอีกครั้งแล้วทำขั้นตอนนี้ใหม่

6. ปล่อยลูกศุ่มและจับเวลา สังเกตว่าเมื่อลูกศุ่มผ่านไฟโตเกตตัวแรก จะได้ยินเสียงสัญญาณและนาพิกาจับเวลาจะเริ่มจับเวลา และเมื่อลูกศุ่มเคลื่อนที่ผ่านไฟโตเกตตัวที่สอง จะได้ยินเสียงสัญญาณและนาพิกาจับเวลาจะหยุดจับเวลา ถ้าไม่เป็นไปตามนี้แสดงว่าตั้งความสูงของช่องรับแสงของไฟโตเกตสูงเกินไป ให้ปรับความสูงใหม่และทำตั้งแต่ขั้นตอนที่ 4 อีกครั้ง

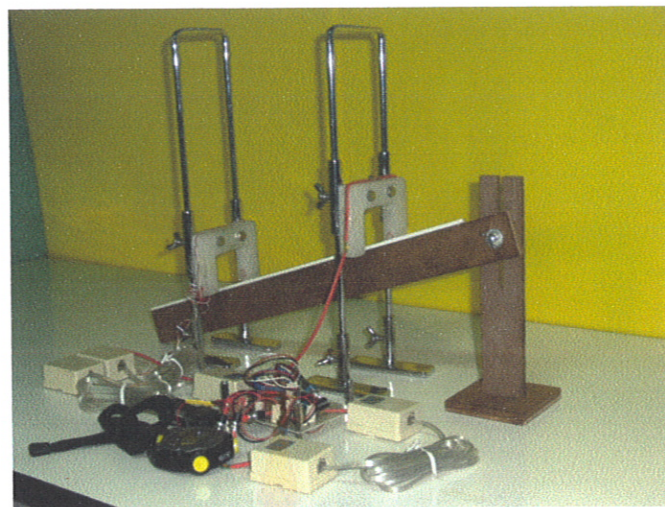
7. บันทึกผลค่าเวลาที่วัดได้ และทำตามขั้นตอนที่ 4 ถึงขั้นตอนที่ 6 จนครบ 10 ครั้งแล้วหาค่าเฉลี่ย

8. นำร่างทรงปรับความเอียงได้มาปรับความเอียงให้ได้เส้นทางที่ผ่านตำแหน่ง 2 ตำแหน่ง คู่เดียวกันกับ 2 ตำแหน่งบนร่างใช้คลอยด์ แล้วทำเครื่องหมายแสดงตำแหน่ง 2 ตำแหน่ง นี้ บนร่างทรง ดังภาพที่ 3.26



ภาพที่ 3.26 การปรับความเอียงของร่างทรงเพื่อให้ได้เส้นทางที่ผ่านตำแหน่ง 2 ตำแหน่ง คู่เดียวกันกับ 2 ตำแหน่งบนร่างใช้คลอยด์

9. จัดอุปกรณ์การทดลองดังภาพที่ 3.27



ภาพที่ 3.27 การจัดอุปกรณ์การทดลองเพื่อจับเวลาในการเคลื่อนที่ระหว่าง 2 ตำแหน่ง บนรางตราช

10. ทดสอบตามขั้นตอนที่ 2 ถึง ขั้นตอนที่ 7 เช่นเดียวกับกรณีของรางโถงไซคลอยด์
11. ตามขั้นตอนที่ 2 ถึง ขั้นตอนที่ 10 โดยเปลี่ยนตำแหน่งจุดต้นและจุดปลาย ดังนี้ 3 cm ถึง 0, 4 cm ถึง 0, 5 cm ถึง 0, 6 cm ถึง 0, 7 cm ถึง 0, 1 cm ถึง 1 cm, 2 cm ถึง 1 cm, 3 cm ถึง 1 cm, 4 cm ถึง 1 cm, 3 cm ถึง 2 cm, 4 cm ถึง 2 cm, 3 cm ถึง 2.5 cm, และ 4 cm ถึง 3 cm

### 3.2 สถานที่ทำการวิจัย

สาขาวิชาฟิสิกส์ คณะวิทยาศาสตร์และเทคโนโลยี มหาวิทยาลัยเทคโนโลยีราชมงคลกรุงเทพ

## บทที่ 4

### ผลการวิจัยและข้อวิจารณ์

#### 4.1 การทดลองเพื่อยืนยันสมบัติของโถครนของไซคลอยด์

##### ตารางที่ 1 ค่าของกราฟสี่เหลี่ยมวงรีไซคลอยด์ที่แยกพิจูดต่าง ๆ กัน

ความสูง (cm)	ค่าเวลา (s)					ค่าเวลาเฉลี่ย (s) ( $T_{av}$ )
	$T_1$	$T_2$	$T_3$	$T_4$	$T_5$	
2	1.226	1.226	1.226	1.227	1.226	1.226
	1.226	1.226	1.226	1.227	1.225	1.226
	1.224	1.225	1.227	1.226	1.226	1.226
	1.226	1.227	1.227	1.227	1.226	1.227
	1.226	1.227	1.227	1.230	1.225	1.227
	1.225	1.226	1.226	1.228	1.226	1.226
	1.225	1.226	1.226	1.228	1.226	1.226
	1.225	1.227	1.226	1.220	1.226	1.225
	1.225	1.226	1.226	1.229	1.226	1.226
	1.225	1.225	1.226	1.227	1.226	1.226
4	1.213	1.224	1.226	1.227	1.227	1.223
	1.210	1.224	1.226	1.227	1.227	1.223
	1.214	1.224	1.226	1.226	1.227	1.223
	1.208	1.223	1.225	1.227	1.228	1.222
	1.206	1.224	1.226	1.226	1.227	1.222
	1.208	1.225	1.226	1.226	1.225	1.222
	1.206	1.223	1.226	1.227	1.226	1.222
	1.209	1.225	1.224	1.226	1.226	1.222
	1.208	1.223	1.226	1.225	1.227	1.222
	1.206	1.226	1.226	1.227	1.226	1.222

ตารางที่ 1 ค่าของ การออสซิลเดตบนร่างไข่คอลอยด์ที่แยกพิจูดต่างๆ กัน (ต่อ)

ความสูง (cm)	ค่าเวลา (s)					ค่าเวลาเฉลี่ย (s) ( $T_{av}$ )
	$T_1$	$T_2$	$T_3$	$T_4$	$T_5$	
6	1.188	1.221	1.226	1.226	1.226	1.217
	1.196	1.221	1.225	1.226	1.227	1.219
	1.188	1.222	1.226	1.227	1.226	1.218
	1.188	1.222	1.225	1.228	1.226	1.218
	1.188	1.223	1.226	1.226	1.226	1.218
6	1.186	1.222	1.226	1.226	1.226	1.217
	1.190	1.222	1.226	1.227	1.226	1.218
	1.183	1.222	1.226	1.227	1.226	1.217
	1.182	1.221	1.227	1.227	1.226	1.217
	1.188	1.222	1.228	1.227	1.226	1.218
8	1.176	1.221	1.223	1.227	1.227	1.215
	1.177	1.219	1.226	1.226	1.227	1.215
	1.179	1.221	1.226	1.227	1.228	1.216
	1.172	1.221	1.227	1.225	1.227	1.214
	1.169	1.225	1.226	1.226	1.226	1.214
	1.169	1.222	1.226	1.226	1.226	1.214
	1.170	1.222	1.227	1.227	1.226	1.214
	1.168	1.219	1.226	1.227	1.226	1.213
	1.171	1.220	1.226	1.226	1.226	1.214
	1.170	1.221	1.226	1.227	1.226	1.214

ตารางที่ 1 ค่าของ การออสซิลเลตบนร่างไข่คลอยด์ที่แยกพิจูดต่าง ๆ กัน (ต่อ)

ความสูง (cm)	เวลา (s)					เวลาเฉลี่ย (s) ( $T_{av}$ )
	$T_1$	$T_2$	$T_3$	$T_4$	$T_5$	
10	1.161	1.219	1.226	1.226	1.225	1.211
	1.150	1.222	1.225	1.227	1.227	1.210
	1.139	1.220	1.226	1.227	1.226	1.208
	1.144	1.221	1.225	1.226	1.228	1.209
	1.146	1.221	1.226	1.227	1.224	1.209
	1.143	1.220	1.225	1.226	1.225	1.208
	1.145	1.220	1.225	1.227	1.225	1.208
	1.145	1.219	1.225	1.228	1.226	1.209
	1.145	1.217	1.226	1.226	1.226	1.216
	1.143	1.219	1.226	1.226	1.226	1.208
12	1.138	1.219	1.225	1.225	1.225	1.206
	1.139	1.217	1.224	1.225	1.225	1.206
	1.137	1.219	1.225	1.225	1.226	1.206
	1.137	1.219	1.226	1.226	1.224	1.206
	1.138	1.218	1.225	1.226	1.223	1.206
	1.132	1.219	1.226	1.226	1.227	1.206
	1.127	1.220	1.226	1.227	1.226	1.205
	1.132	1.220	1.226	1.227	1.226	1.206
	1.131	1.219	1.227	1.228	1.228	1.207
	1.134	1.219	1.225	1.227	1.226	1.206

ค่า  $T_1$  มีค่าน้อยกว่าค่า  $T_2, T_3, T_4$  และ  $T_5$  โดยเฉพาะเมื่อปล่อยทรงกลมโลหะจากตำแหน่งที่อยู่สูง ๆ เนื่องจากเกิดการไถลในช่วงเริ่มต้นของการเคลื่อนที่

โดยที่ ค่าของ การออสซิลเลตบนทางโถงไข่คลอยด์ในกรณีที่มีการกลึงด้วยห้าค่าได้จากการ

$$T = 2\pi \sqrt{\frac{4a}{g^*}}$$

เมื่อ  $g^* = \frac{g}{1+k}$  และ  $k = \frac{2}{5} = 0.4$  สำหรับทรงกลม

เนื่องจากแผ่นไม้ที่ตัดเป็นทางโค้งใช้คลอยด์มีระยะแนวตั้งจากจุดกึ่งกลางจุดต่ำสุดเท่ากับ 14.05 cm ขณะที่ร่างครอบสายไฟที่นำมาทำร่างโค้งใช้คลอยด์สูง 0.35 cm และทรงกลมโลหะมีรัศมี 0.75 cm โดยที่ทรงกลมโลหะนี้ส่วนที่ยื่นลงไปในร่าง 0.024 cm เมื่อวางบนร่าง

จึงได้

$$2a = 14.05 - 0.35 - (0.75 - 0.024) \text{ cm} = 12.974 \text{ cm}$$

ดังนั้น

$$T = 2\pi \sqrt{\frac{2(0.12974)(1.4)}{9.78}} \text{ s} = 1.211 \text{ s}$$

ซึ่งสอดคล้องอย่างดีกับผลการทดลอง

จากผลการทดลองจึงสรุปได้ว่าความของการօอสซิลเลตของลูกศุ่มนทางโค้งใช้คลอยด์มีค่าคงที่ไม่เปลี่ยนแปลงตามแรมพ์ลิกุลของการօอสซิลเลต ซึ่งเป็นการยืนยันสมบัติอตโนมัติของใช้คลอยด์

หมายเหตุ ค่า  $g = 9.78 \text{ m/s}^2$  เป็นค่าท้องถิ่น (กรุงเทพฯ) ของค่าความเร่งเนื้อจากแรงโน้มถ่วงของโลก ซึ่งเป็นผลจากการทดลองวัดของกรมแผนที่ทหาร



**4.2 การทดลองเพื่อเปรียบเทียบความของการแกว่งแบบชิมเปิด เพnenดูลัม กับ ไซคลอยดัล เพnenดูลัม  
ที่มีความยาวเชือกเท่ากัน**

**ตารางที่ 2 ค่าของ การแกว่งแบบชิมเปิด เพnenดูลัม เมื่อความยาวเชือกมีค่าเป็น 28 cm**

หมายเลข	ค่าเวลา (s)										ค่าเวลาเฉลี่ย (s)
	T <sub>1</sub>	T <sub>2</sub>	T <sub>3</sub>	T <sub>4</sub>	T <sub>5</sub>	T <sub>6</sub>	T <sub>7</sub>	T <sub>8</sub>	T <sub>9</sub>	T <sub>10</sub>	
80	1.163	1.157	1.520	1.147	1.143	1.140	1.138	1.133	1.129	1.124	1.179
70	1.147	1.143	1.140	1.136	1.132	1.130	1.127	1.125	1.122	1.119	1.132
60	1.139	1.128	1.128	1.122	1.120	1.118	1.115	1.113	1.111	1.108	1.120
50	1.106	1.104	1.100	1.100	1.099	1.096	1.095	1.094	1.093	1.092	1.098
40	1.087	1.086	1.085	1.085	1.084	1.082	1.082	1.081	1.081	1.082	1.084
30	1.079	1.076	1.075	1.075	1.074	1.073	1.074	1.074	1.073	1.072	1.075
20	1.069	1.067	1.068	1.069	1.067	1.071	1.066	1.067	1.066	1.065	1.068
10	1.062	1.065	1.062	1.063	1.064	1.062	1.063	1.062	1.063	1.066	1.063
5	1.063	1.064	1.062	1.063	1.059	1.065	1.063	1.060	1.062	1.062	1.062
3	1.060	1.059	1.060	1.060	1.060	1.060	1.060	1.067	1.062	1.059	1.061



ตารางที่ 3 ค่าของ การแกว่งแบบไข่คลอยด์ เพนดูลัม เมื่อความยาวเชือกมีค่าเป็น 28 cm

ความ สูง (cm)	ค่าเวลา (s)										ค่าเวลา เฉลี่ย (s) ( $T_{av}$ )
	$T_1$	$T_2$	$T_3$	$T_4$	$T_5$	$T_6$	$T_7$	$T_8$	$T_9$	$T_{10}$	
4	1.063	1.068	1.063	1.063	1.062	1.066	1.064	1.064	1.064	1.062	1.064
5	1.063	1.064	1.063	1.068	1.064	1.064	1.062	1.066	1.065	1.063	1.064
6	1.063	1.063	1.066	1.064	1.068	1.064	1.063	1.064	1.064	1.064	1.064
7	1.064	1.064	1.064	1.064	1.062	1.064	1.064	1.062	1.064	1.064	1.064
8	1.064	1.065	1.064	1.064	1.063	1.064	1.064	1.064	1.063	1.063	1.064
9	1.065	1.065	1.064	1.064	1.064	1.068	1.065	1.064	1.064	1.065	1.065
10	1.068	1.063	1.066	1.065	1.066	1.066	1.068	1.064	1.064	1.064	1.065
11	1.069	1.067	1.066	1.065	1.064	1.065	1.065	1.064	1.064	1.064	1.065
12	1.068	1.067	1.066	1.067	1.064	1.066	1.065	1.066	1.064	1.064	1.066
13	1.067	1.069	1.063	1.065	1.064	1.068	1.065	1.067	1.065	1.064	1.066

จากผลการทดลองสรุปได้ว่า ค่าของ การแกว่งของไข่คลอยด์ เพนดูลัม มีค่าคงที่ ไม่เปลี่ยนตาม แ昏เพลจูด (ต่างกันตรงทศนิยมตำแหน่งที่ 3 ของวินาที) แต่ ค่าของ การแกว่งของชิมเปล เพนดูลัม เพิ่มขึ้นตาม แ昏เพลจูด โดย ค่าของ การแกว่งเปลี่ยนแปลงน้อยมากจนอาจถือได้ว่า มีค่าคงที่ เมื่อ แกว่ง ค่วงแ昏เพลจูด น้อยกว่า  $5^\circ$  และนาฬิกาที่ใช้จับเวลาต้องมี ความละเอียดถึงนิลลิวินาที ( $1/1,000$  วินาที) จึงมี ความละเอียดพอที่จะ สรุป ผลการทดลองได้

$$\text{จากสมการของ ค่าของ การแกว่งของไข่คลอยด์ เพนดูลัม คือ } T = 2\pi \sqrt{\frac{4a}{g}}$$

$$\text{และ สมการของ ค่าของ การแกว่งของชิมเปล เพนดูลัม คือ } T = 2\pi \sqrt{\frac{L}{g}}$$

โดยที่  $L = 4a = 28 \text{ cm.} = 0.28 \text{ m.}$  สำหรับ การทดลองครั้งนี้

$$\text{จึงได้ } T^2 = \frac{4\pi^2 L}{g} \text{ และ } g = \frac{4\pi^2 L}{T^2}$$

$$\text{เมื่อ } T = 1.064 \text{ s จะได้ } g = \frac{4\pi^2(0.28)}{(1.064)^2} m/s^2 = 9.764 m/s^2$$

$$\text{เมื่อ } T = 1.063 \text{ s จะได้ } g = \frac{4\pi^2(0.28)}{(1.063)^2} m/s^2 = 9.782 m/s^2$$

$$\text{เมื่อ } T = 1.062 \text{ s จะได้ } g = \frac{4\pi^2(0.28)}{(1.062)^2} m/s^2 = 9.801 m/s^2$$

เนื่องจากค่าท้องถิ่นของความเร่งเนื่องจากแรงโน้มถ่วงของโลกบริเวณการท่าเรือแห่งประเทศไทย คลองเตย ที่วัดโดยกรมแผนที่ทหาร ซึ่งมีค่าเป็น  $9.783 \text{ m/s}^2$  ค่าความเร่งเนื่องจากแรงโน้มถ่วงของโลก ที่ได้จากการทดลองครั้งนี้จึงสอดคล้องอย่างดีค่าท้องถิ่นของค่าความเร่งเนื่องจากแรงโน้มถ่วงของโลก ที่สถานที่ทำการทดลอง



### 4.3 การทดลองเพื่อยืนยันสมบัติบรากิตส์โกรนของไขคลอยด์

ตารางที่ 4 เวลาในการเคลื่อนที่ระหว่าง 2 ตำแหน่ง คู่เดียวกัน บนร่างไขคลอยด์และร่างทรง

#### ปรับความเอียงได้

ความ สูง (cm)	ลักษณะ ของร่าง	ค่าเวลา (s)										ค่าเวลา เฉลี่ย (s)
		T <sub>1</sub>	T <sub>2</sub>	T <sub>3</sub>	T <sub>4</sub>	T <sub>5</sub>	T <sub>6</sub>	T <sub>7</sub>	T <sub>8</sub>	T <sub>9</sub>	T <sub>10</sub>	
2 ถึง 0	ไขคลอยด์	0.235	0.236	0.237	0.236	0.233	0.229	0.248	0.247	0.239	0.246	0.239
	ร่างทรง	0.312	0.320	0.326	0.315	0.338	0.314	0.308	0.330	0.346	0.343	0.325
3 ถึง 0	ไขคลอยด์	0.256	0.257	0.250	0.267	0.276	0.262	0.281	0.264	0.272	0.263	0.265
	ร่างทรง	0.314	0.312	0.315	0.296	0.301	0.313	0.327	0.295	0.295	0.294	0.306
4 ถึง 0	ไขคลอยด์	0.255	0.243	0.258	0.274	0.250	0.267	0.273	0.275	0.295	0.276	0.267
	ร่างทรง	0.323	0.306	0.313	0.296	0.325	0.315	0.318	0.285	0.309	0.306	0.310
5 ถึง 0	ไขคลอยด์	0.274	0.252	0.267	0.276	0.268	0.265	0.275	0.270	0.276	0.265	0.269
	ร่างทรง	0.308	0.304	0.319	0.321	0.303	0.295	0.290	0.284	0.291	0.309	0.302
6 ถึง 0	ไขคลอยด์	0.299	0.256	0.270	0.265	0.279	0.261	0.263	0.302	0.263	0.269	0.273
	ร่างทรง	0.289	0.305	0.305	0.297	0.325	0.299	0.307	0.315	0.313	0.314	0.307
7 ถึง 0	ไขคลอยด์	0.244	0.241	0.260	0.286	0.243	0.259	0.253	0.268	0.265	0.257	0.258
	ร่างทรง	0.323	0.336	0.329	0.329	0.341	0.320	0.319	0.308	0.317	0.321	0.324
1 ถึง 1	ไขคลอยด์	0.430	0.416	0.458	0.467	0.481	0.435	0.462	0.435	0.430	0.439	0.445
	ร่างทรง	-	-	-	-	-	-	-	-	-	-	-
2 ถึง 1	ไขคลอยด์	0.365	0.367	0.363	0.370	0.377	0.396	0.378	0.390	0.402	0.390	0.380
	ร่างทรง	0.586	0.588	0.605	0.608	0.593	0.583	0.573	0.611	0.591	0.595	0.593
3 ถึง 1	ไขคลอยด์	0.377	0.371	0.386	0.382	0.387	0.392	0.389	0.356	0.379	0.387	0.381
	ร่างทรง	0.534	0.524	0.544	0.545	0.546	0.522	0.511	0.532	0.527	0.549	0.533

ตารางที่ 4 เวลาในการเคลื่อนที่ระหว่าง 2 ตำแหน่ง คู่เดียวกัน บนร่างไซคลอยด์และร่างทรง

ปรับความเอียงได้ (ต่อ)

ความ สูง (cm)	ลักษณะ ของร่าง	คำนวณเวลา (s)										คำนวณ เฉลี่ย (s)
		T <sub>1</sub>	T <sub>2</sub>	T <sub>3</sub>	T <sub>4</sub>	T <sub>5</sub>	T <sub>6</sub>	T <sub>7</sub>	T <sub>8</sub>	T <sub>9</sub>	T <sub>10</sub>	
4 ถึง 1	ไซคลอยด์	0.359	0.345	0.340	0.344	0.343	0.361	0.369	0.379	0.364	0.359	0.356
	ทรงตรง	0.469	0.489	0.474	0.461	0.450	0.469	0.490	0.503	0.500	0.510	0.482
3 ถึง 2	ไซคลอยด์	0.427	0.431	0.495	0.437	0.433	0.427	0.426	0.436	0.427	0.428	0.437
	ทรงตรง	1.736	1.869	1.770	1.884	1.850	1.891	1.794	1.876	1.834	1.691	1.820
4 ถึง 2	ไซคลอยด์	0.408	0.439	0.412	0.432	0.410	0.466	0.409	0.406	0.439	0.413	0.423
	ทรงตรง	0.843	0.863	0.852	0.825	0.824	0.840	0.836	0.818	0.865	0.852	0.842
3 ถึง 2.5	ไซคลอยด์	0.446	0.439	0.446	0.434	0.489	0.482	0.479	0.445	0.498	0.446	0.460
	ทรงตรง	1.564	1.408	1.268	0.957	1.164	1.072	1.002	1.326	1.285	1.253	1.230
4 ถึง 3	ไซคลอยด์	0.478	0.417	0.459	0.428	0.484	0.469	0.475	0.421	0.443	0.478	0.455
	ทรงตรง	2.285	2.243	2.383	2.278	2.163	2.080	2.431	2.429	2.350	2.324	2.297

จากผลการทดลองสรุปได้ว่าในการเคลื่อนที่ระหว่าง 2 ตำแหน่งใดๆ การเคลื่อนที่ตามทางโค้งไซคลอยด์บนร่างไซคลอยด์ใช้เวลาอ่อนกว่าการเคลื่อนที่ตามแนวเส้นตรงบนพื้นเรียบ ซึ่งเป็นการยืนยันสมบัติบริสโตรอนของไซคลอยด์

## บทที่ 5

### สรุปผลและข้อเสนอแนะ

#### 5.1 สรุปผล

##### 5.1.1 การทดลองเพื่อยืนยันสมบัติทดสอบที่โดยตรงของไซคลอยด์

จากการทดลองพบว่าค่าของอัตราการอสูตรเดตของลูกศรที่มีความยาวเท่ากับที่ไม่เปลี่ยนแปลงตามแอนพลิจูดของการอสูตรเดต ผลการทดลองจึงยืนยันสมบัติทดสอบที่โดยตรงของไซคลอยด์

##### 5.1.2 การทดลองเพื่อเปรียบเทียบค่าของอัตราการแกว่งแบบชิมเปล เพนดูลัม กับ ไซคลอยด์ พนดูลัม ที่มีความยาวเชือกเท่ากัน

จากการทดลองพบว่าค่าของอัตราการแกว่งของไซคลอยด์ พนดูลัม มีค่าคงที่ไม่เปลี่ยนแปลงตามแอนพลิจูด แต่ค่าของอัตราการแกว่งของชิมเปล พนดูลัม เพิ่มขึ้นตามแอนพลิจูด โดยค่าของอัตราการแกว่งเปลี่ยนแปลงน้อยมากจนอาจถือได้ว่ามีค่าคงที่ เมื่อแกว่งด้วยแอนพลิจูด น้อยกว่า  $5^\circ$

##### 5.1.3 การทดลองเพื่อยืนยันสมบัติบรากิต์ทดสอบของไซคลอยด์

จากการทดลองพบว่าในการเคลื่อนที่ระหว่าง 2 ตำแหน่งใดๆ การเคลื่อนที่ตามทางโค้งไซคลอยด์บนร่างไซคลอยด์ใช้เวลาต้องมากกว่าการเคลื่อนที่ตามแนวเส้นตรงบนพื้นเรียง ผลการทดลองจึงยืนยันสมบัติบรากิต์ทดสอบของไซคลอยด์

โดยนาฬิกาที่ใช้จับเวลาต้องมีความละเอียดถึงมิลลิวินาที ( $1/1,000$  วินาที) จึงมีความละเอียดพอที่จะสรุปผลการทดลองได้ และจากการทดลองวัดค่าของอัตราการแกว่งแบบไซคลอยด์ พนดูลัม และการแกว่งแบบชิมเปล พนดูลัม ในกรณีที่แกว่งเป็นมุมเล็กๆ เมื่อนำไปคำนวณหาค่าความเร่งเนื่องจากแรงโน้มถ่วงของโลกที่วัดโดยกรมแผนที่ทหาร

#### 5.2 ข้อเสนอแนะ

ถ้าสามารถสร้างร่างไซคลอยด์ที่ปรับเปลี่ยนขนาดได้ จะเกิดความสะดวกในการศึกษาเปรียบเทียบการอสูตรเดตของลูกศรที่มีความยาวต่างๆ

### บรรณานุกรม

1. กองกัญจน์ ก้าวกรกัญจน์. 2519. ฟิสิกส์ขั้นมหาวิทยาลัย. พิมพ์ครั้งที่ 3 กรุงเทพฯ:  
โรงพิมพ์มหาวิทยาลัยรามคำแหง
2. Agmon D and Gluck P 2009 Classical and Relativistic Mechanics (Singapore: World Scientific)
3. Gluck P 2005 Phys. Edu. **40** 206
4. Roller D E and Bloom R 1981 Physics vol. I (San Francisco. CA: Holden-Day)
5. Hoffman Dale T. A Cycloid Race. Physics Teacher, v29 n6 p395-97 Sep 1991
6. [php.math.unifi.it](http://php.math.unifi.it) , The Cycloidal Pendulum



## ประวัติของผู้วิจัย

1. ชื่อ – นามสกุล (ภาษาไทย) นางสุจิตต์ ศรีชัย  
ชื่อ – นามสกุล (ภาษาอังกฤษ) Mrs. Suchit Srichai
2. หมายเลขบัตรประชาชน 31001 00251 556
3. ตำแหน่งปัจจุบัน ผู้ช่วยศาสตราจารย์สาขาวิชาฟิสิกส์
4. หน่วยงานที่สามารถติดต่อได้สะดวก  
ที่อยู่ มหาวิทยาลัยเทคโนโลยีราชมงคลกรุงเทพ คณะวิทยาศาสตร์และเทคโนโลยี  
สาขาวิชาฟิสิกส์  
เลขที่ 2 ถนนนангลีนจี แขวงทุ่งมหาเมฆ เขตสาทร กรุงเทพฯ 10120
- หมายเลขโทรศัพท์ 02 -2833991-5 ต่อ 1194  
โทรศัพท์ 02-8604486  
e-mail [srichai\\_suchit@hotmail.com](mailto:srichai_suchit@hotmail.com)
5. ประวัติการศึกษา
- พ.ศ. 2523 วท.บ. (ฟิสิกส์)  
มหาวิทยาลัยเทคโนโลยีพระจอมเกล้าธนบุรี (ชื่อเดิม  
สถาบันเทคโนโลยีเทคโนโลยีพระจอมเกล้าธนบุรี )
- พ.ศ. 2530 วท.ม. (พลังงานและวัสดุ)  
มหาวิทยาลัยเทคโนโลยีพระจอมเกล้าธนบุรี (ชื่อเดิม  
สถาบันเทคโนโลยีเทคโนโลยีพระจอมเกล้าธนบุรี )
6. สาขาที่มีความชำนาญพิเศษ(แตกต่างจากวุฒิการศึกษา) ระบุสาขาวิชาการ -
7. ประสบการณ์ที่เกี่ยวข้องกับการบริหารงานวิจัยทั้งภายในและภายนอกประเทศ โดยระบุ  
สถานภาพในการทำงานวิจัยว่าเป็นผู้อำนวยการแผนงานวิจัย หัวหน้าโครงการวิจัย หรือ  
ผู้ร่วมวิจัยในแต่ละข้อเสนอการวิจัย -  
 7.1 ผู้อำนวยการแผนงานวิจัย : ชื่อแผนวิจัย -  
 7.2 หัวหน้าโครงการวิจัย : ชื่อโครงการวิจัย -  
 7.3 งานวิจัยที่ทำเสร็จแล้ว : ชื่อผลงานการวิจัย -  
 7.4 งานวิจัยที่กำลังทำ : ชื่อข้อเสนอการวิจัย แหล่งทุน และสถานภาพในการทำวิจัย  
ว่าได้ทำการวิจัยลุล่วงแล้วประมาณร้อยละเท่าไร -

## ประวัติของผู้วิจัย

1. ชื่อ – นามสกุล (ภาษาไทย) นายสุชาติ แซ่เฮง  
ชื่อ – นามสกุล (ภาษาอังกฤษ) Mr. Suchart Sae-Heng
2. หมายเลขบัตรประชาชน 390 9800173 303
3. ตำแหน่งปัจจุบัน ข้าราชการบำนาญ
4. หน่วยงานที่สามารถติดต่อได้สะดวก  
ที่อยู่ มหาวิทยาลัยเทคโนโลยีราชมงคลกรุงเทพ คณะวิทยาศาสตร์และเทคโนโลยี  
สาขาวิศึกษา เลขที่ 2 ถนนนangลีนจี แขวงทุ่งมหาเมฆ เขตสาทร กรุงเทพฯ 10120

หมายเลขโทรศัพท์ 02-2833991-5 ต่อ 1194

โทรสาร 02-8604486

e-mail suchart.heng99@gmail.com

### 5. ประวัติการศึกษา

พ.ศ. 2522 กศ.บ. (พิสิกส์)

มหาวิทยาลัยหกชั้น (ชื่อเดิม มหาวิทยาลัยศรีนครินทรวิโรฒ สังขละ)

พ.ศ. 2531 วท.ม. (พิสิกส์)

คณะวิทยาศาสตร์ จุฬาลงกรณ์มหาวิทยาลัย

6. สาขาที่มีความชำนาญพิเศษ (แตกต่างจากวุฒิการศึกษา) ระบุสาขาวิชาการ เรียนとするสาขาวิชาการทางวิทยาศาสตร์และเทคโนโลยี
7. ประสบการณ์ที่เกี่ยวข้องกับการบริหารงานวิจัยทั้งภายในและภายนอกประเทศไทย โดยระบุสถานภาพในการทำงานวิจัยว่าเป็นผู้อำนวยการแผนงานวิจัย หัวหน้าโครงการวิจัย หรือผู้ร่วมวิจัยในแต่ละข้อเสนอการวิจัย
- 7.1 ผู้อำนวยการแผนงานวิจัย : ชื่อแผนวิจัย -
  - 7.2 หัวหน้าโครงการวิจัย : ชื่อโครงการวิจัย -
  - 7.3 งานวิจัยที่ทำเสร็จแล้ว : ชื่อผลงานการวิจัย -
  - 7.4 งานวิจัยที่กำลังทำ : ชื่อข้อเสนอการวิจัย แหล่งทุน และสถานภาพในการทำวิจัย ว่าได้ทำการวิจัยคล่องแคล่วประมาณร้อยละเท่าไร -